

TUGAS AKHIR

**TINJAUAN KETELITIAN HASIL PENGOLAHAN DATA GPS BASIS PANJANG
MENGGUNAKAN PROGRAM *TRIMBLE BUSINESS CENTER (TBC)***

(Studi kasus: Kais - Papua Barat)



**Nama : Zulfadin Alfianto
NIM : 07.25.025**

Bidang Keahlian :

Global Positioning System (GPS)

**PROGRAM STUDI TEKNIK GEODESI S-1
FAKULTAS TEKNIK SIPIL DAN PERENCANAAN
INSTITUT TEKNOLOGI NASIONAL
MALANG
2013**

ప్రాణికి మాటలు విభజించి కు

అనుమతి లేదా నియమిత విధానం లో ఉన్న విధానాన్ని
సాధించి విధానాన్ని విధానాన్ని విధానాన్ని విధానాన్ని
సాధించి విధానాన్ని విధానాన్ని విధానాన్ని

ప్రాణికి మాటలు విభజించి కు
250.00.00 : 1000.

ప్రాణికి మాటలు విభజించి కు
(ప్రాణికి మాటలు విభజించి కు)

ప్రాణికి మాటలు విభజించి కు
విధానాన్ని విధానాన్ని విధానాన్ని విధానాన్ని
విధానాన్ని విధానాన్ని విధానాన్ని

ప్రాణికి మాటలు విభజించి కు

250.00

LEMBAR PERSETUJUAN

**TINJAUAN KETELITIAN HASIL PENGOLAHAN DATA GPS BASIS PANJANG
MENGGUNAKAN PROGRAM *TRIMBLE BUSINESS CENTER (TBC)*
(*Studi kasus: Kais – Papua Barat*)**

SKRIPSI

Diajukan untuk memenuhi persyaratan dalam mencapai
Gelar Sarjana Teknik (ST) Strata Satu (S-1) Teknik Geodesi S-1
Institut Teknologi Nasional Malang

Oleh :

**ZULFADIN ALFIANTO
0725025**

Menyetujui :

Dosen Pembimbing I


(Ir. Pradono Joanes De. Deo, Msi)

Dosen Pembimbing II


(Silvester Sari Sai, ST., MT)

Mengetahui,
Ketua Jurusan Teknik Geodesi S-1




(Ir. Agus Darpono, MT)



PERKUMPULAN PENGELOLA PENDIDIKAN UMUM DAN TEKNOLOGI NASIONAL MALANG

INSTITUT TEKNOLOGI NASIONAL MALANG

FAKULTAS TEKNOLOGI INDUSTRI

FAKULTAS TEKNIK SIPIL DAN PERENCANAAN

PROGRAM PASCASARJANA MAGISTER TEKNIK

Kampus I : Jl. Bendungan Sigura-gura No.2 Telp. (0341)551431 (Hunting, Fax. (0341) 553015 Malang 65145

Kampus II : Jl. Raya Karanglo. Km 2 Telp. (0341) 417636 Fax. (0341) 417634 Malang

LEMBAR PENGESAHAN

SKRIPSI

TINJAUAN KETELITIAN HASIL PENGOLAHAN DATA GPS BASIS PANJANG

MENGGUNAKAN PROGRAM TRIMBLE BUSINESS CENTER (TBC)

(*Studi kasus: Kais – Papua Barat*)

Telah dipertahankan di hadapan panitia penguji skripsi jenjang strata – 1 (S-1)

Pada Hari : Sabtu

Tanggal : 27 Juli 2013

Dan diterima untuk memenuhi persyaratan guna memperoleh gelar Sarjana Teknik (ST)

Oleh :

ZULFADIN ALFIANTO

0725025

Panitia Ujian Skripsi

Ketua

(Ir. Agus Darpono., MT)

Sekretaris

(Silvester Sari Sai, ST., MT)

Anggota Penguji

Penguji I

(Silvester Sari Sai, ST., MT)

Penguji III

(Ir. Pradono Joanes De Deo., MSi)

Penguji II

(M. Edwin Tjahjadi, ST., MgeomSc., PhD)

ОГРН №1171708000001



Бюллетень

(Справочник по правилам письма)

(Приложение к Постановлению Правительства Российской Федерации от 10.01.2017 г. № 10)

Министерство
образования и науки
 Российской Федерации

Бюллетень

Бюллетень

о введении в действие

(Приложение к Постановлению Правительства Российской Федерации от 10.01.2017 г. № 10)

(Приложение к Постановлению Правительства Российской Федерации от 10.01.2017 г. № 10)

Министерство
образования и науки
 Российской Федерации

Министерство
образования и науки
 Российской Федерации

Комитет
по образованию

Комитет
по образованию

Бюллетень о введении в действие

0_72052

МОСКОВСКАЯ ОБЛАСТЬ

ОГРН:

Приказом министра образования и науки Российской Федерации от 10.01.2017 г. № 10

от 10.01.2017 г. № 10

от 10.01.2017 г.

Приказом министра образования и науки Российской Федерации от 10.01.2017 г. № 10

о введении в действие

ПРИКАЗОМ МИНИСТЕРСТВА ОБРАЗОВАНИЯ И НАУКИ РОССИЙСКОЙ ФЕДЕРАЦИИ

ПРИКАЗОМ КОМИТЕТА ПО ОБРАЗОВАНИЮ И НАУКЕ МОСКОВСКОЙ ОБЛАСТИ

о введении в действие

ПРИКАЗОМ МИНИСТЕРСТВА ОБРАЗОВАНИЯ И НАУКИ РОССИЙСКОЙ ФЕДЕРАЦИИ

о введении в действие

ПРИКАЗОМ КОМИТЕТА ПО ОБРАЗОВАНИЮ И НАУКЕ МОСКОВСКОЙ ОБЛАСТИ

о введении в действие

ПРИКАЗОМ КОМИТЕТА ПО ОБРАЗОВАНИЮ И НАУКЕ МОСКОВСКОЙ ОБЛАСТИ

о введении в действие

**TINJAUAN KETELITIAN HASIL PENGOLAHAN DATA GPS BASIS
PANJANG MENGGUNAKAN PROGRAM *TRIMBLE BUSINESS CENTER*
(TBC)**

(Studi kasus: Kais – Papua Barat)

Zulfadin Alfianto 0725025

Dosen Pembimbing I : Ir. Pradono Joanes De. Deo, Msi
Dosen Pembimbing II : Silvester Sari Sai, ST., MT

Abstraksi

GPS (*Global Positioning System*) merupakan sistem navigasi satelit yang dikembangkan oleh Departemen Pertahanan Amerika Serikat (US DoD = *United States Department of Defense*). GPS memungkinkan untuk mengetahui posisi pengamat di atas permukaan ellipsoid. Penggunaan GPS dalam menentukan posisi relatif tidak terlalu terpengaruh dengan kondisi topografi daerah survei artinya penentuan posisi GPS tidak memerlukan adanya saling keterlihatan antara satu titik dengan titik yang lain.

Indonesia memiliki cukup banyak titik tetap / *benchmark* (BM), hanya titik-titik tersebut belum terdistribusi secara merata di seluruh wilayah Indonesia, terutama wilayah Indonesia bagian Timur khususnya pulau Papua. Sehingga diperlukan suatu pengamatan GPS dengan jarak basis panjang dalam pembuatan titik tetap.

Dengan jarak basis panjang diperlukan program pemrosesan data dengan tingkat ketelitian pemrosesan data yang baik. Program yang digunakan ada yang bersifat komersil maupun ilmiah, dimana program ilmiah memiliki tingkat ketelitian proses data lebih teliti dibandingkan dengan program komersil. Sehingga diperlukan suatu tinjauan ketelitian seberapa jauh kemampuan program komersil *Trimble Business Center* (TBC) dalam mendekati tingkat ketelitian dari program ilmiah BERNESE Versi 5 yang memiliki tingkat ketelitian lebih tinggi.

Dalam studi penelitian ini lokasi penelitian dibagi dan dikelompokkan menjadi 3 (tiga) lokasi penelitian, pengelompokan lokasi penelitian berdasarkan pada karakteristik permukaan tanahnya. Dari ketiga lokasi penelitian tersebut didapat hasil yang berbeda antara lain penyimpangan nilai tinggi permukaan tanah DTM data citra Lidar terhadap DTM data peta Topografi adalah : pada permukaan tanah yang relatif terbuka dengan tinggi permukaan tanah yang relatif datar nilai

THE UNIVERSITY OF TORONTO LIBRARIES
UNIVERSITY OF TORONTO LIBRARY COLLECTIONS

()

(*Arundinaria* - *zizanioides* - *virginicus*.)

2202250 omilla nibellus

Doseau-Pamplona II : 27/07/2011 10:45:00 Doseau-Pamplona I : 27/07/2011 10:45:00

INDIA

Geplante GP2-Zielgruppen unterscheiden sich von den bestehenden Zielgruppen der GP1. Die GP2-Zielgruppen sind im Vergleich zu den GP1-Zielgruppen jünger und haben eine niedrigere Bildungsabschlußrate.

Dengue virus binds to receptors on the surface of dendritic cells, which then present the viral antigens to T cells. The T cells release cytokines that stimulate the dendritic cells to produce more cytokines and recruit other immune cells to the site of infection. This process leads to the destruction of infected cells and the elimination of the virus.

penyimpangan 0 - 0.5 meter sebesar 61.5 % dan adapun nilai rata – rata penyimpangannya berkisar 0.449 meter, pada permukaan tanah yang relatif terbuka dengan tinggi permukaan tanah yang bervariatif nilai penyimpangan 0 - 0.5 meter sebesar 34.8 % dan adapun nilai rata – rata penyimpangannya berkisar 1.276 meter dan pada permukaan tanah yang relatif terbuka dengan kemiringan permukaan tanah yang terjal nilai penyimpangan 0 - 0.5 meter sebesar 8.1 % dan adapun nilai rata – rata penyimpangannya berkisar 2.069 meter.

Kata kunci : GPS, Basis Panjang, Program Komersil, Program Ilmiah.

SURAT PERNYATAAN KEASLIAN SKRIPSI

Saya yang bertandatangan dibawah ini :

Nama : Zulfadin Alfianto
NIM : 0725025
Program Studi : Teknik Geodesi S-1
Fakultas : Teknik Sipil dan Perencanaan

Menyatakan dengan sesungguhnya bahwa Skripsi saya yang berjudul
“TINJAUAN KETELITIAN HASIL PENGOLAHAN DATA GPS BASIS PANJANG
MENGGUNAKAN PROGRAM TRIMBLE BUSINESS CENTER (TBC)”

(Studi kasus: Kals – Papua Barat)

Adalah hasil karya saya sendiri dan bukan menjiplak atau menduplikat serta tidak mengutip atau menyadur dari hasil karya orang lain kecuali disebutkan sumbernya.

Malang, 20 Agustus 2013
Yang membuat pernyataan

Zulfadin Alfianto
NIM : 0725025

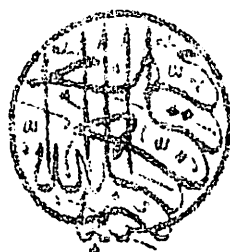


Tak ada kata yang dapat menjelaskan betapa rasa sukurnya atas segala limpahan kenikmatan dunia yang telah Allah SWT berikan semasa hidupnya, kenikmatan untuk bisa belajar di jurusan T. Geodesi ITN Malang, kenikmatan untuk bisa belajar di PT Adi Reksa Data Inti, & Kenikmatan untuk bisa kenal teman² dari berbagai daerah yg kumpul di malang.

Untuk kedua orang tua yg terimakasih atas segala kasih sayang, pengorbanan, dan DO'A yang selalu diberikan sehingga yg bisa menjadi seperti sekarang (Zulfadin Alfianto ST) semoga kelak yg bisa membahagiakan kalian dunia akhirat.. Amin³

Terimakasih yg yang tulus untuk teman² yg Geo_Zero7 yang menemani yg, membantu yg, mendukung yg kebersamaan kita tak akan yg lupa sampe akhir waktu yg nanti. Khususnya buat Aditya Setiawan ST & Soleman Umbu Wokura ST yg selama KP & skripsi kita selalu bersama²





բայց մասնաւոր պատճեն առաջ առ է թիվու առ պատճ ուղարկելու համար բայց պատճեն

17.00 రోజుల్లో ప్రారంభించిన విషయాలలో అంతాను నిర్వహించి కొనిపించిన వాయిదలకు తీవ్ర సమితి లేదా

Целесообразно включить в проектную документацию АЗС и АИС схему подключения к ИБР ГРП в тарифном режиме для определения правильности расчета тарифов.

• *Endemic to Langkawi, Malaysia; introduced to the Andaman*

Alles andere als eine gewöhnliche Gruppe ist die Menge \mathbb{R}^n , mit Strukturen für das Produkt und die Potenz.

www.scholarlypublications.com

and the author has no authority to do so.

the original and the new versions of the model. The results are presented in Table 1.

According to the legend, the first person to plant a tree in the city was a man named John.

KATA PENGANTAR

Puja dan puji syukur ke hadirat ALLAH SWT atas segala rahmat, hidayah, dan karomah-Nya sehingga penulisan tugas akhir "Tinjauan Ketelitian Hasil Pengolahan Data GPS Basis Panjang Menggunakan Program *Trimble Business Center* (TBC)" dengan mengambil wilayah penelitian di Papua Barat, Bisa terselesaikan dengan baik.

Tidak lupa saya mengucapkan rasa terima kasih yang sebesar-besarnya kepada :

1. Ir. Pradono Joanes De Deo, Msi. selaku Dosen Pembimbing I yang telah banyak membantu dalam proses penyusunan dan memberi banyak masukan dalam penyelesaian tugas akhir ini.
2. Silvester sari sai, ST., MT. selaku Dosen Wali Teknik Geodesi angkatan 2007.
3. Para Dosen Pengajar dan Staf Jurusan Teknik Geodesi ITN Malang
4. Semua Teman-teman dan Adik-adikku, baik yang membantu dan yang tidak membantu.

Laporan ini tentunya masih jauh dari sempurna. Oleh karena itu sebagai penyusun, sangat mengharapkan saran dan kritik yang membangun sifatnya sebagai masukan dalam periode penyusunan laporan berikutnya.

Malang, Juli 2013

Penyusun

DAFTAR ISI

HALAMAN PERSETUJUAN	i
HALAMAN PENGESAHAN.....	ii
ABSTRAKSI	iii-iv
SURAT PERNYATAAN KEASLIAN SKRIPSI	v
LEMBAR PERSEMBERAHAN	vi
KATA PENGANTAR.....	vii
DAFTAR ISI.....	viii-x
DAFTAR GAMBAR.....	xi
DAFTAR TABEL	xii
DAFTAR LAMPIRAN	xiii

BAB I PENDAHULUAN

1.1	Latar Belakang	1
1.2	Rumusan Masalah	2
1.3	Tujuan Penelitian	2
1.4	Batasan Masalah.....	2
1.5	Manfaat Penelitian	2
1.6	Tinjauan Pustaka	3

BAB II DASAR TEORI

2.1	Pengertian <i>Global Positioning System</i>	4
2.2	Sinyal GPS	4
2.2.1	Informasi Jarak.....	5
2.2.2	Informasi Posisi Satelit	6
2.2.3	Gelombang Pembawa.....	7
2.3	Metode Penentuan Posisi Dengan GPS.....	7
2.3.1	Metode Penentuan Posisi Absolut.....	9
2.3.2	Metode Penentuan Posisi Diferensial.....	10
2.3.3	Metode Penentuan Posisi Statik	11

С.3	Мониторинга состояния земель 11
С.5	Природы 10
С.5	Природы 9
С.5	Природы 8
С.5	Природы 5
С.5	Природы 4
С.5	Природы 2
С.5	Природы 1
С.1	Природы 1
ВУВ II	ПРИРОДЫ

Г.0	Природы 3
Г.2	Природы 3
Г.4	Природы 3
Г.2	Природы 3
Г.5	Природы 3
Г.1	Природы 1
ВУВ I	ПРИРОДЫ

ДУЕЛК ГУННЫЙ	20
ДУЕЛК АУВЕР	20
ДУЕЛК САИР/В	21
ДУЕЛК И	21-2
КУЛ БЕЛСЧАУВ	21
ГЕЛУК БЕЛСЧАУВ/У	21
ГЛУЛ БЕЛСЧАУВ/У КЕЛСЧАУВ/СКИВІ	21
ІСКАРСВА	21-2
НУЛ БЕЛСЧАУВ/УМУЛАН	21
НУЛ БЕЛСЧАУВ/АМУЛАН	21
ДУЕЛК И	

2.3.4	Metode Penentuan Posisi Kinematik	12
2.3.5	Metode Penentuan Posisi Statik Singkat.....	13
2.3.6	Metode Penentuan Posisi Pseudo-Kinematik.....	14
2.3.7	Metode Penentuan Posisi <i>Stop and Go</i>	14
2.4	Garis Basis (<i>Baseline</i>)	15
2.4.1	Konfigurasi Jaringan	16
2.4.2	Durasi Pengamatan Garis Basis	18
2.5	Titik Kontrol Tanah.....	19 ^v
2.5.1	Titik Kontrol Horisontal.....	19
2.6	Pengolahan Data Survey GPS	20
2.6.1	Pengolahan Jarak Basis	20
2.6.2	Perataan Jaringan	22
2.6.3	Transformasi Datum.....	23
2.6.4	Transformasi Sistem Koordinat	23

BAB III PELAKSANAAN PENELITIAN

3.1	Waktu dan Lokasi Penelitian	25
3.2	Materi dan Peralatan Penelitian	25
3.3	Tahap Penelitian.....	26
3.4	Pengumpulan Data Pengamatan GPS	29
3.5	Pemrosesan Data	33
3.5.1	Pemrosesan Garis Basis (<i>Baseline</i>).....	33
3.5.2	Proses <i>Loop Closure</i>	35
3.5.3.	Proses Perataan Jaringan	36

BAB IV PEMBAHASAN DAN ANALISA HASIL

4.1	Proses Pengamatan.....	38
4.2	Analisa Proses Pengolahan <i>Baseline</i>	40
4.3	Analisa Proses Perataan Jaringan GPS	43
4.4	Analisa Simpangan Ketelitian Hasil Proses TBC Terhadap Hasil Proses BERNESE V5	44

BAB V	PENUTUP	
5.1	Kesimpulan	46
5.2	Saran.....	47
DAFTAR PUSTAKA		48
LAMPIRAN		

DAFTAR GAMBAR

Gambar	Halaman
Gambar 2.1 Prinsip Dasar Penentuan Posisi Dengan GPS	7
Gambar 2.2 Metode Penentuan Posisi Dengan GPS	9
Gambar 2.3 Metode Penentuan Posisi Absolut	10
Gambar 2.4 Metode Penentuan Posisi Diferensial	11
Gambar 2.5 Metode Penentuan Posisi Statik.....	12
Gambar 2.6 Metode Penentuan Posisi Kinematik	13
Gambar 2.7 Perbandingan Waktu Pengamatan Metode Statik, Statik Singkat, dan pseudo Kinematik	14
Gambar 2.8 Baseline Bebas dan Trivial	15
Gambar 3.1 Lokasi Penelitian Di Provinsi Papua Barat	25
Gambar 3.2 Diagram Alir Penelitian	27
Gambar 3.3 Proses Add Coordinate Titik Kontrol	36
Gambar 3.4 Report Proses Network Adjustment.....	37
Gambar 4.1 Konfigurasi Jaringan Pengamatan GPS	39

DAFTAR TABEL

Tabel		Halaman
Tabel 2.1	Penentuan Jarak Pseudorange Dengan Kode	5
Tabel 2.2	Standar Durasi Proses Pengamatan Baseline	18
Tabel 3.1	Titik Kontrol Horisontal Bakosurtanal	26
Tabel 3.2	Data Observasi GPS.....	30
Tabel 3.3	Timeline Data GPS	31
Tabel 3.4	Informasi Instrument GPS Pada Saat Pengamatan	34
Tabel 3.5	Laporan Hasil Proses Loop Closure Program TBC	35
Tabel 4.1	Parameter Proses Garis Basis (Baseline)	41
Tabel 4.2	Hasil Proses Baseline TBC 3 Hari Pengamatan.....	42
Tabel 4.3	Hasil Proses Perataan Jaringan GPS Dengan 3 Titik Kontrol..	43
Tabel 4.4	Hasil Proses Perataan Jaringan GPS Dengan Software Bernese.....	44
Tabel 4.5	Hasil Perhitungan Simpangan Proses TBC Terhadap Software Bernese.....	45

DAFTAR LAMPIRAN

Lampiran	Halaman
Lampiran 1	Titik Kontrol Horisontal Bakosurtanal 26
Lampiran 2	Report Hasil Proses Baseline dengan TBC 35
Lampiran 3	Report Hasil Proses <i>Loop Closure</i> dengan TBC 35
Lampiran 4	Report Hasil Proses Network Adjustment dengan TBC 37
Lampiran 5	Report Hasil Proses Network Adjustment dengan BERNESE V5 44

BAB I

PENDAHULUAN



1.1. Latar Belakang

GPS (*Global Positioning System*) merupakan sistem navigasi satelit yang dikembangkan oleh Departemen Pertahanan Amerika Serikat (US DoD = *United States Department of Defense*). GPS memungkinkan untuk mengetahui posisi pengamat di atas permukaan ellipsoid.

Penggunaan GPS dalam menentukan posisi relatif tidak terlalu terpengaruh dengan kondisi topografi daerah survei artinya penentuan posisi GPS tidak memerlukan adanya saling keterlihatan antara satu titik dengan titik yang lain. GPS mempunyai banyak kelebihan dan menawarkan lebih banyak keuntungan, baik dalam segi operasionalisasinya maupun kualitas posisi yang diberikan.

Pada dasarnya di Indonesia tersedia cukup banyak titik kontrol yang dapat digunakan sebagai titik tetap / *benchmark* (BM), hanya titik-titik tersebut belum terdistribusi secara merata di seluruh wilayah Indonesia, terutama wilayah Indonesia bagian Timur khususnya pulau Papua. Sehingga diperlukan suatu pengamatan GPS dengan jarak basis panjang dalam pembuatan titik tetap.

Dengan jarak basis panjang diperlukan program pemrosesan data dengan tingkat ketelitian pemrosesan data yang baik. Ada berbagai macam program pemrosesan data hasil pengamatan GPS dalam meningkatkan ketelitian, ada yang bersifat komersil maupun ilmiah, dalam hal ini program ilmiah memiliki tingkat ketelitian proses data lebih teliti dibandingkan dengan program komersil. Sehingga diperlukan suatu tinjauan ketelitian seberapa jauh kemampuan program

BART

BEIJING 100726

U.S. Central Intelligence Agency

Subject: Tibetan language material collection (two sets, handwritten, typed, and printed)

Area A - GeDzê 290 (including Lhasa, northern Tibet, and western Sichuan) - Tibetan language material collection (two sets, handwritten, typed, and printed)

Period: 1950-1970
Language: Tibetan
Medium: Handwritten, typed, printed
Format: Books, manuscripts, documents, maps, etc.
Content: History, geography, literature, religion, science, technology, etc.

Notes:
1. The collection consists of two sets of materials, one handwritten and one typed, covering the same geographical area and time period.
2. The handwritten set includes several large volumes of historical documents and manuscripts, some of which are in the original Tibetan script and others in Chinese transcription.
3. The typed set includes a variety of printed books, periodicals, and reports, covering topics such as history, geography, literature, and science.
4. The collection is intended for research purposes and is not suitable for general reading.



komersil *Trimble Business Center* (TBC) dalam mendekati tingkat ketelitian dari program ilmiah BERNESE Versi 5 yang memiliki tingkat ketelitian lebih tinggi.

1.2. Rumusan Masalah

Bagaimana kemampuan tingkat ketelitian *Trimble Business Center* (TBC) dalam memproses data GPS basis panjang untuk mendekati tingkat ketelitian pemrosesan data dengan menggunakan program ilmiah BERNESE Versi 5.

1.3. Tujuan Penelitian

Tujuan penelitian ini adalah untuk mengetahui seberapa jauh kemampuan program TBC (*Trimble Business Center*) untuk mendekati tingkat ketelitian pemrosesan data dengan menggunakan program ilmiah.

1.4. Batasan Masalah

Sejauh mana program TBC (*Trimble Business Center*) dapat digunakan dalam pengolahan data GPS untuk jarak basis panjang dengan cara membandingkan terhadap hasil perhitungan data GPS menggunakan program ilmiah BERNESE Versi 5.

1.5. Manfaat Penelitian

Dari hasil penelitian ini akan diketahui kualitas ketelitian hasil perataan data pengamatan GPS dengan menggunakan program TBC (*Trimble Business Center*) dan mengetahui seberapa jauh kemampuan TBC (*Trimble Business Center*) dapat mendekati tingkat ketelitian program *scientific* BERNESE Versi 5.

Kontrollen-Aktions-Blätter (KAB) führen unbedenklich tiefpunktkontrollen aus
bis gegenwärtig BERICHT Seite 3 kann momentan tiefpunktkontrollen nicht
ausführen.

1.2 Rundschau-Vorbericht

Beschränkungskontrollen führen kontrollieren Waren-Warewaren (KWB)
daher momentanes dass CPE passiert aufgrund unzureichender Kontrollen
bestimmen darf die genauen momentanen Voraussetzungen im BERICHT Seite 2

1.3 Tiefpunkts-Berechnung

Tiefpunktsberechnung ist durch momentane Sonderschafftspunkte bestimmt
BERICHT Seite 3 kann Waren-Warewaren (KWB) durch momentane tiefpunktkontrollen
bestimmen darf die genauen momentanen Voraussetzungen im BERICHT Seite 2

1.4 Meldung-Vorbericht

Meldung kann bis gegenwärtig BERICHT Seite 3 kann Waren-Warewaren (KWB)
bestimmen darf CPE nach jeder Tiefpunktskontrolle das momentane
Voraussetzung BERICHT Seite 3 kann Waren-Warewaren (KWB) momentane
Voraussetzung BERICHT Seite 2

1.5 Meldung-Berechnung

Die Meldung-Berechnung ist durch momentane Kontrollen bestimmt
BERICHT Seite 3 kann CPE neben momentanen Voraussetzung BERICHT Seite 3
durch momentane Sonderschafftspunkte bestimmen BERICHT Seite 2
momentane tiefpunktkontrollen bestimmen BERICHT Seite 2

1.6. Tinjauan Pustaka

Ketelitian posisi yang diperoleh secara umum akan tergantung pada empat faktor, yaitu metode penentuan posisi yang digunakan, geometrik dan distribusi dari satelit-satelit yang diamati, ketelitian data yang digunakan dan strategi / metode pengolahan data yang diterapkan. (*Hasamudin*)

GPS (*Global Positioning System*) adalah sistem radio navigasi dan penentuan posisi menggunakan satelit yang dimiliki dan dikelola oleh Amerika Serikat. Sistem yang terdiri dari 24 satelit ini dapat digunakan oleh banyak orang sekaligus dalam segala cuaca, serta didesain untuk memberikan posisi dan kecepatan tiga dimensi yang teliti dan juga informasi mengenai waktu secara kontinyu diseluruh dunia. Saat ini GPS sudah banyak digunakan orang diseluruh dunia, dalam berbagai bidang aplikasi yang memerlukan informasi tentang posisi, kecepatan, percepatan, ataupun waktu. Di Indonesia saat ini, GPS mulai banyak di aplikasikan, terutama yang terkait dengan aplikasi-aplikasi yang memerlukan informasi tentang posisi. (*Prof. Dr. Joenil Kahar dan Andrew James Msc. 2002*)

Mekanisme untuk mendekatkan titik dapat dilakukan secara beranting atau secara langsung. Seandainya mekanisme mendekatkan secara langsung digunakan, maka karena panjang jarak basis yang relatif panjang, pengamatan GPS sebaiknya dilakukan dengan sesi pengamatan yang panjang dan sebaiknya menggunakan resiver GPS tipe geodetik dua frekuensi untuk bisa mereduksi efek dari bias ionosfer. (*Bakosurtanal*)

Digitized by Google

BAB II

DASAR TEORI

2.1. Pengertian *Global Positioning System*

NAVSTAR GPS atau *Navigation Satellite Time and Ranging Global Positioning System* merupakan sistem radio navigasi satelit dan penentuan posisi menggunakan satelit yang dikembangkan oleh DoD (*The U.S. Department of Defense*) untuk keperluan navigasi global disegala cuaca, serta didesain untuk memberikan posisi dan kecepatan tiga dimensi yang teliti, dan juga informasi mengenai waktu secara kontinyu di seluruh dunia.

2.2. Sinyal GPS

Satelit GPS memancarkan sinyal-sinyal, pada prinsipnya untuk memberitahu pengamat sinyal tentang posisi satelit serta jaraknya dari pengamat beserta informasi waktunya. Sinyal GPS juga digunakan untuk menginformasikan kelayakgunaan (kesehatan) satelit kepada pengamat, serta informasi pendukung lainnya seperti parameter untuk perhitungan koreksi jam satelit, parameter model ionosfer, transformasi waktu GPS ke UTC (*Universal Time Coordinated*) dan status konstelasi satelit. Dengan mengamati satelit dalam jumlah yang cukup, pengamat dapat menentukan posisi dan kecepatan.

Sinyal GPS dibagi atas 3 komponen yaitu : informasi jarak (*kode*), informasi posisi satelit (*navigation message*) dan gelombang pembawa (*carrier wave*).



2.2.1. Informasi Jarak

Ada dua kode *pseudo-random noise* (PRN) yang digunakan sebagai penginformasi jarak, yaitu kode P (*P = Precise* atau *Private*) dan kode C/A (*Coarse Acquisition* atau *Clear Acces*). Perlu ditekankan disini bahwa setiap satelit GPS mempunyai struktur kode yang unik dan berbeda dengan satelit-satelit lainnya. Ini memungkinkan receiver GPS untuk mengenali dan membedakan sinyal-sinyal yang datang dari satelit-satelit yang berbeda. Struktur umum dari komponen sinyal GPS (kode P dan kode C/A) seperti pada tabel 2.1. berikut:

Tabel 2.1. Penentuan Jarak (Pseudorange) Dengan Kode. Z. Abidin. (2006)

Gelombang Pembawa	Frekuensi	Panjang Gelombang	Modulasi	Frekuensi	Panjang Chip
L1	1575.42 MHz	19 cm	C/A Code P – Code Navigation Message	1.023 MHz 10.23 MHz 50 Mhz	193 cm 293 cm
L2	1227.60 MHz	24 cm	P – Code Navigation Message	10.23 MHz 50 Mhz	293 cm

Dengan kode P atau kode C/A jarak dari pengamat kesatelite dapat ditentukan. Prinsip pengukuran jarak yang digunakan dalam hal ini adalah dengan membandingkan kode yang diterima dari satelit dengan kode replika yang diformulasikan didalam receiver.

Dalam hal ini waktu yang diperlukan untuk menggabungkan kedua kode tersebut (dt) adalah waktu yang diperlukan oleh kode tersebut untuk menempuh jarak dari satelit ke pengamat. Dengan mengalikan data dt dengan kecepatan cahaya maka jarak antara pengamat dengan satelit dapat ditentukan. Perlu dicatat



disini bahwa karena ketelitian jam yang ada pada receiver GPS berbeda dengan ketelitian jam yang ada pada satelit, maka jarak yang diukur dengan cara tersebut masih akan terkontaminasi oleh kesalahan karena ketidak sinkronan waktu kedua jam tersebut, sehingga jarak ukuran tersebut umumnya dinamakan jarak semu atau pseudorange.

2.2.2. Informasi Posisi Satelit

Disamping berisi kode-kode, sinyal GPS juga berisi pesan navigasi (*navigation message*) yang berisi informasi tentang koefisien koreksi jam satelit, parameter orbit, almanac satelit, UTC, parameter koreksi ionosfer, serta informasi lainnya seperti kesehatan satelit.

Pesan navigasi ini ditentukan oleh segmen sistem kontrol dan dikirimkan ke pengguna menggunakan satelit GPS adalah ephemeris (orbit) satelit yang biasa disebut *broadcast ephemeris*. Dalam *broadcast ephemeris*, informasi tentang posisi satelit tidak diberikan langsung dalam bentuk koordinat, tapi dalam bentuk elemen-elemen keplerian dari orbit GPS yang dapat digunakan untuk menghitung posisi satelit dari waktu ke waktu. Disamping *broadcast ephemeris*, pesan navigasi juga berisi almanac satelit yang memberikan informasi tentang orbit nominal satelit. Kode-kode dan pesan navigasi yang dijelaskan diatas dibawa ke pengamat dari satelit oleh gelombang pembawa (*carrier wave*).

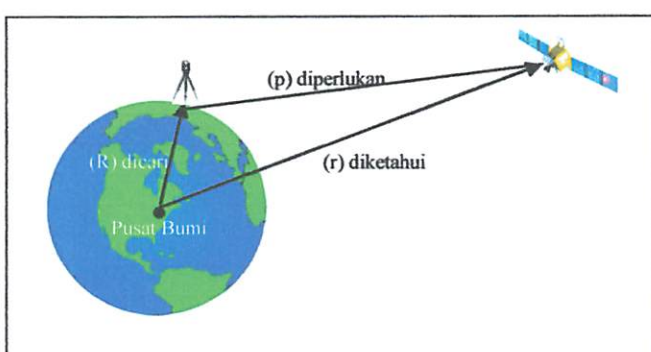
2.2.3. Gelombang Pembawa

Ada dua gelombang pembawa yang digunakan yaitu L1 dan L2. Dalam hal ini, gelombang L1 membawa kode P dan C/A beserta pesan navigasi, sedangkan gelombang L2 membawa kode P dan pesan navigasi.

Agar gelombang pembawa dapat membawa data kode dan pesan navigasi, maka data tersebut harus ditumpangkan ke gelombang pembawa. Dengan kata lain, gelombang pembawa dimodulasi oleh kode dan pesan navigasi.

2.3. Metode Penentuan Posisi Dengan GPS

Pada dasarnya konsep penentuan posisi dengan GPS adalah reseksi atau pengikatan kebelakang antara jarak dengan jarak, yaitu pengukuran jarak secara simultan kebeberapa satelit GPS yang koordinatnya telah diketahui. Parameter yang akan ditentukan adalah vektor posisi geosentrik pengamat (R), sementara vector posisi geosentrik satelit GPS (r) telah diketahui, maka yang perlu ditentukan adalah vector posisi toposentris satelit terhadap pengamat (p), berikut ini adalah konsep penentuan posisi GPS.



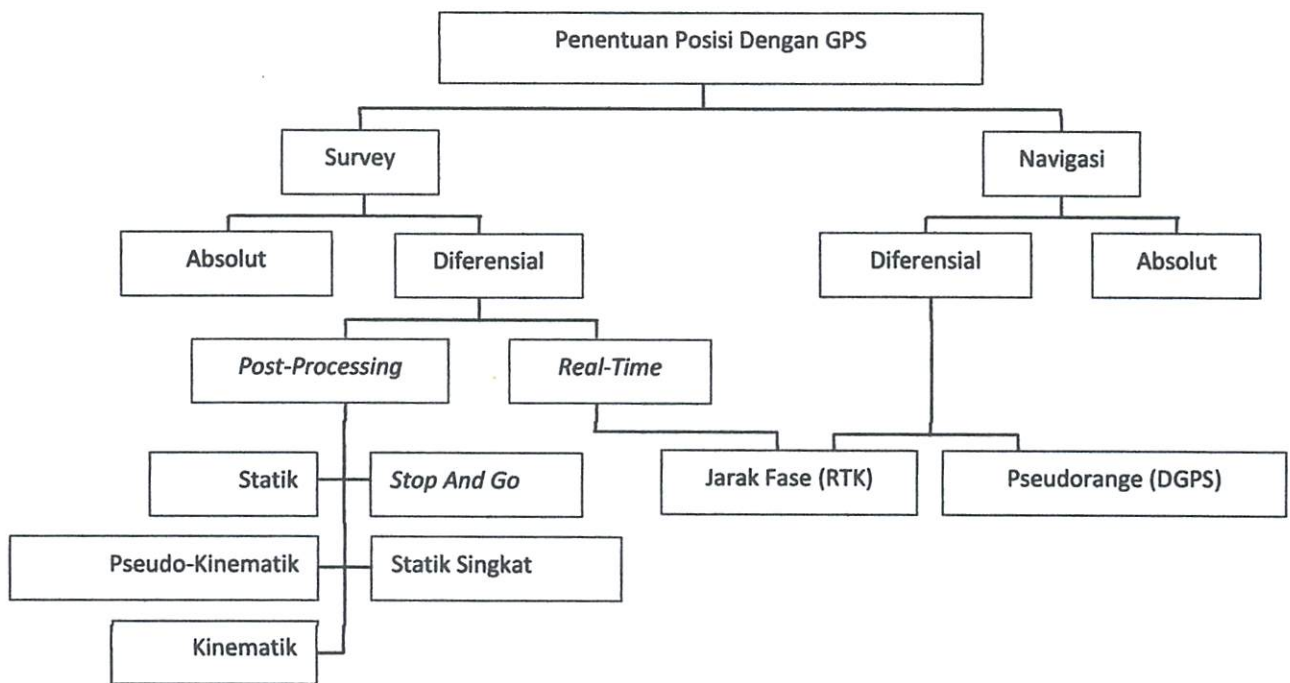
Gambar 2.1. Prinsip Dasar Penentuan Posisi Dengan GPS. Z.Abidin. (2006)

Posisi yang ditentukan dengan GPS mengacu pada datum horizontal global yaitu ellipsoid. GPS dapat memberikan ketelitian posisi yang spektrumnya sangat luas. Dari yang sangat teliti yaitu orde milimeter sampai yang biasa-biasa saja orde puluhan meter, oleh karena itu memungkinkan bagi pengguna GPS untuk secara efektif dan efisien sesuai dengan permintaan dan dana yang ada, dalam melakukan pengukuran.

Ketelitian posisi yang didapat dengan pengamatan GPS bergantung pada:

1. Metode penentuan posisi yang digunakan yaitu: absolute, diferensial, statik, statik singkat, pseudo kinematik, kinematik, *stop and go*.
2. Geometri dan distribusi satelit yang diamati antara lain tipe data yang digunakan, jumlah satelit, lokasi dan distribusi satelit, dan lama pengamatan.
3. Ketelitian data yang digunakan yaitu tipe data, kualitas receiver, level kesalahan dan bias.
4. Strategi pemrosesan data, *real time* atau *post processing*, pemrosesan jarak basis perataan jaringan, dan kontrol kualitas.

Dalam pengukuran GPS ada beberapa metode penentuan posisi dengan GPS sebagai berikut:



Gambar 2.2. Metode Penentuan Posisi Dengan GPS. Langley. (1998)

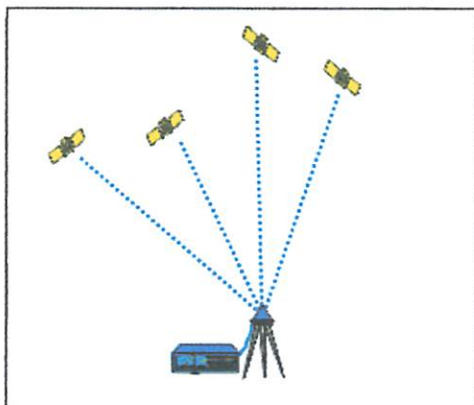
Berdasarkan mekanisme pengaplikasiannya, metode penentuan posisi dengan GPS terdapat beberapa metode, yaitu:

2.3.1. Metode Penentuan Posisi Absolut

Metode penentuan posisi absolut atau *point positioning*, dilakukan pada setiap titik tanpa tergantung pada titik lainnya. Posisi ditentukan dalam sistem ellipsoid WGS 1984 terhadap pusat massa bumi. Prinsip penentuan posisi adalah reseksi dengan jarak ke beberapa satelit secara simultan. Metode ini hanya memerlukan satu *receiver* GPS. Titik yang ditentukan posisinya bisa dalam keadaan diam atau bergerak. ketelitian posisi yang diperoleh bergantung pada tingkat ketelitian data



serta geometri dari satelit. Metode ini tidak dimaksudkan untuk penentuan posisi yang teliti.



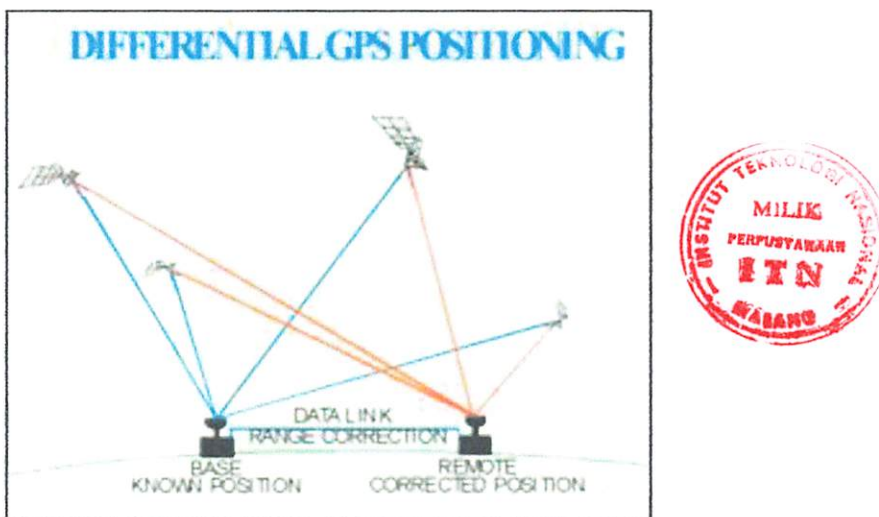
Gambar 2.3. Metode Penentuan Posisi Absolut. Z.Abidin. (2006)

2.3.2. Metode Penentuan Posisi Diferensial

Metode penentuan posisi diferensial disebut juga metode penentuan posisi relative, dengan mengurangkan data yang diamati oleh dua *receiver* GPS pada waktu yang bersamaan, maka beberapa jenis kesalahan dapat direduksi. Pengeliminasian data reduksi ini akan meningkatkan akurasi dan posisi data, dan selanjutnya akan meningkatkan tingkat akurasi dan presisi yang diperoleh. Dalam penentuan posisi secara deferensial ada dua aplikasi yaitu sistem DGPS dan RTK.

Sistem DGPS (*Differential GPS*) digunakan untuk penentuan posisi objek-objek yang bergerak. Untuk merealisasikan tuntutan *real time*-nya, maka *monitor station* harus mengirim koreksi diferensial ke pengguna secara *real time* dengan menggunakan sistem komunikasi data tertentu. Koreksi diferensial dapat berupa koreksi *pseudorange* maupun koreksi koordinat.

Sistem RTK (*Real Time Kinematic*) digunakan untuk penentuan posisi *real time* secara diferensial menggunakan data *fase*. Untuk merealisasikan *real time*-nya, stasiun referensi harus mengirimkan data *fase* dan *pseudorange*-nya ke pengguna secara *real time* menggunakan sistem komunikasi data tertentu. Sistem RTK tidak hanya dapat merealisasikan survey GPS *real time* tapi juga navigasi ketelitian tinggi.



Gambar 2.4. Metode Penentuan Posisi Diferensial. Z.Abidin. (2006)

2.3.3. Metode Penentuan Posisi Statik

Penentuan posisi secara statik adalah penentuan posisi dari titik-titik yang statik atau diam. Penentuan posisi dapat dilakukan secara absolut maupun diferensial dengan menggunakan data *pseudorange* dan data *fase*. Dibandingkan dengan metode penentuan posisi lain, metode statik memberikan ketelitian posisi relative lebih tinggi, dapat mencapai orde cm sampai mm. metode penentuan posisi secara statik banyak digunakan untuk penentuan koordinat dari titik-titik kontrol untuk keperluan pemetaan maupun pemantauan fenomena deformasi dan

Гілкет РІА (Юліан Альварес) відповідає за розробку та реалізацію державної політики з питань фундаментальної та моральної освіти та науки та за підтримку та розвиток освітніх установ та організацій, а також за підготовку та розмежуванням освітніх та наукових питань між урядом та парламентом.

РІА є засновником та керівником Національного агентства з питань освіти та науки (НАОН), яке виконує функції здебільшого виконавчої влади та є єдиним органом державної влади, що виконує функції з питань освіти та науки.

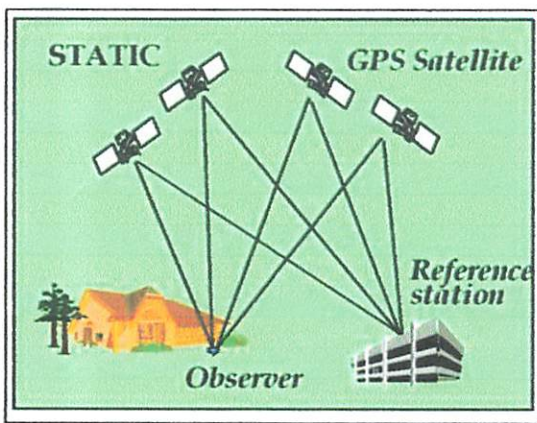


Приєднані до цього документу: Адміністративна Акт з підтвердженням

ЗМІНА У СТАНДАРТАХ ОСВІТИ

Зміни в стандартах освіти вводяться з метою підвищення якості освіти та підвищення конкурентоспроможності країни. Це повинно зробити країну більш привабливою для інвесторів та підвищити рівень життя населення. Зміни в стандартах освіти вводяться з метою підвищення якості освіти та підвищення конкурентоспроможності країни. Це повинно зробити країну більш привабливою для інвесторів та підвищити рівень життя населення.

geodinamika. Pada prinsipnya survey GPS bertumpu pada metode penentuan posisi dengan metode statik secara deferensial dengan menggunakan data *fase*. Pengamatan satelit GPS umumnya dilakukan jarak basis per jarak basis selama selang waktu tertentu dari beberapa puluh menit hingga beberapa jam tergantung pada ketelitian yang ingin dicapai dalam suatu jaringan dari titik yang akan ditentukan posisinya.



Gambar 2.5. Metode Penentuan Posisi Statik. Z. Abidin (2006)

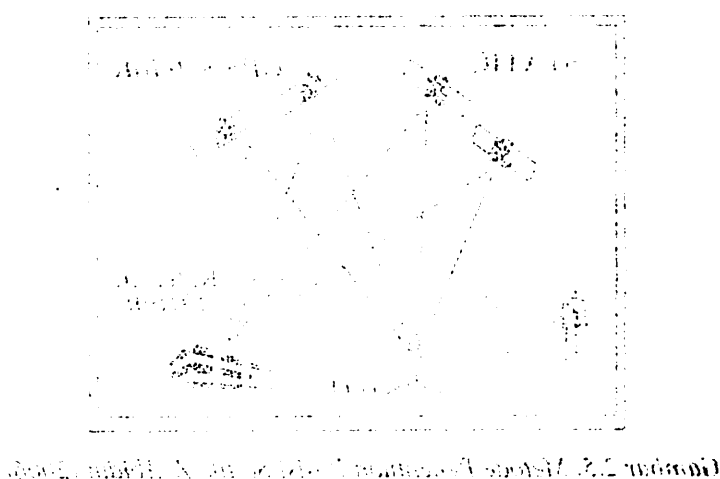
2.3.4. Metode Penentuan Posisi Kinematik

Penentuan posisi secara kinematik adalah penentuan posisi dari titik-titik yang bergerak dan *receiver* GPS tidak dapat atau tidak punya kesempatan untuk berhenti pada titik-titik tersebut. Penentuan posisi secara kinematik dapat dilakukan secara absolute maupun deferensial dengan menggunakan data *pseudorange* dan data *fase*.

Berdasarkan jenis data yang digunakan serta metode penentuan posisi yang digunakan, ketelitian posisi kinematik yang diberikan oleh GPS dapat berkisar dari tingkat: rendah (penentuan posisi absolute dengan pseudorange) sampai tingkat tinggi (penentuan posisi diferensial dengan *fase*). dari segi aplikasinya,

berorientasi pada klasifikasi suatu CPS pertama kali muncul berawal
positif dengan metode sederhana diklasifikasikan dalam mengevaluasi nilai yang
berangsuran setelah CPS dimulai diklasifikasikan hanya perlu pula pasca selesai
sebuah tugas kerja tersebut dan populer pun mulai punya perspektif lain terhadap
bagaimana keterlibatan dan kinerja dilihat sumbu klasifikasi nilai yang akhir

dilanjutkan hasilnya



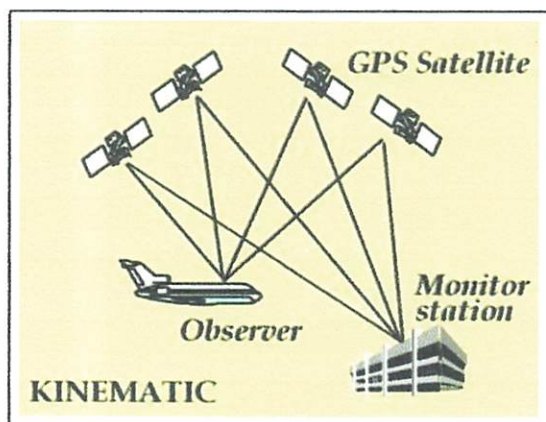
Gambar 2.2 Tabel Afirmasi Terperik Godeve S1

2.3.4. Metode Pengembangan Posisi Kinerjanya

Pengembangan posisi secara kinerjistik dapat berawal dari titik-titik awal
pembentuk dan menciptakan CPS titik-titik dapat dari titik bunga kesempatan untuk
pembentuk posisi titik-titik tersebut pengembangan posisi secara kinerjistik dapat
dilanjutkan secara apotif merupakan klasifikasi dalam mengevaluasi nilai
keterlibatannya dari dasar yang

Berdasarkan jenis dari tiga dimensinya soal metode pengembangan posisi yang
digunakan ketika posisi kinerjistik atau dipilih oleh CPS dapat perkiraan
dari tingkat kebutuhan (kebutuhan posisi seseorang dalam peningkatan)
tingkat tinggi (kebutuhan posisi ditunjukkan dengan baik), dari sedang

metode kinematik GPS akan bermanfaat untuk navigasi, pemantauan (*surveillance*), fotogrametri, dll.



Gambar 2.6. Metode Penentuan Posisi Kinematik. Z. Abidin (2006)

2.3.5. Metode Penentuan Posisi Statik Singkat

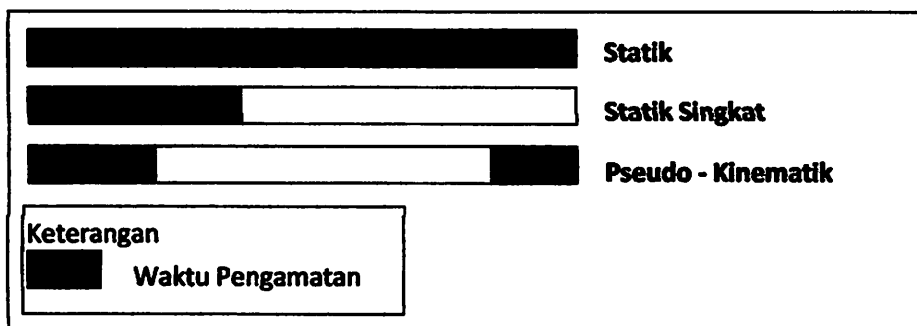
Metode survei statik singkat atau *rapid static* adalah survei statik dengan lama waktu pengamatan yang singkat yaitu 5 hingga 20 menit. prosedural operasional lapangan sama dengan metode statik hanya waktu pengamatannya lebih singkat.

survei statik singkat untuk mendapatkan hasil yang teliti memerlukan proses penentuan *ambiguity* secara cepat dan tepat sehingga memerlukan *software* yang andal dan canggih, metode ini juga memerlukan geometri pengamatan yang baik, tingkat residu kesalahan dan bias yang relative rendah, serta lingkungan pengamatan yang relative tidak menimbulkan *multipath*. aplikasi utama dari metode survey statik singakat ini adalah pada survei pemetaan (orde tidak terlalu tinggi), densifikasi titik, survey rekayasa, dll.

2.3.6. Metode Penentuan Posisi Pseudo-Kinematik

metode pseudo-kinematik atau *intermittent* atau *reoccupation*, pada dasarnya dapat dilihat sebagai realisasi dari dua metode statik singkat yang dipisahkan oleh selang waktu relatif lama yaitu antara satu sampai beberapa jam.

pada metode ini pengamatan dalam dua sesi yang berselang waktu relative lama dimaksudkan untuk meliput perubahan geometri yang cukup besar, sehingga diharapkan dapat mengakseskan penentuan *ambiguity phase* serta mendapat ketelitian posisi yang relatif baik.



Gambar 2.7. Perbandingan Waktu Pengamatan Metode Statik, Statik singkat, dan Pseudo – Kinematik Z. Abidin (2006)

2.3.7. Metode Penentuan Posisi *Stop and Go*

metode *stop and go* adalah salah satu metode penentuan posisi titik-titik dengan GPS, yang kadang disebut juga semi kinematik. pada metode ini titik-titik yang akan ditentukan posisinya tidak bergerak, sedang *receiver* GPS bergerak dari titik-titik, dalam hal ini pada setiap titik *receiver* diam beberapa saat pada titik tersebut.



575. Whole Genome Sequencing Using Any Co

metode *stop and go* berbasiskan pada penentuan posisi secara diferensial dengan menggunakan data *fase*. Koordinat dari titik-titik ditentukan relatif terhadap koordinat dari stasiun atau *monitor station*.

2.4. Garis Basis (*Baseline*)

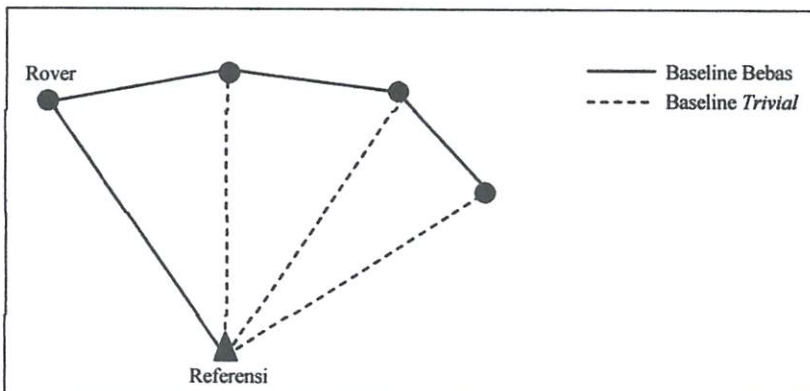
Garis basis adalah komponen utama dalam survey GPS merupakan akar dari kuadrat jumlah selisih antara dua komponen-komponen vektor dua titik. Garis basis dapat dibagi menjadi dua jenis yaitu:

- a. Garis basis trivial

Yaitu garis basis yang diturunkan dari *baseline-baseline* lainnya dari satu sesi pengamatan.

- b. Garis basis bebas

Yaitu garis basis yang langsung diperoleh dari pengamatan yang dilakukan.



Gambar 2.8. Baseline bebas dan trivial



Karakteristik dari garis basis diantaranya:

- Garis basis (*baseline*) sebaiknya tidak terlalu panjang (<20 km), karena semakin panjang pengaruh kesalahan orbit dan refraksi ionosfer akan semakin besar.
- Untuk kontrol kualitas dan menjaga kekuatan jaringan, sebaiknya garis basis yang diamati saling menutup dalam suatu *loop* dan tidak terlepas begitu saja. Kalau karena suatu hal pengamatan garis basis harus dilakukan secara terlepas (metode *radial*), maka sebaiknya setiap garis basis diamati dua kali pada dua sesi pengamatan yang berbeda.

Jenis dari garis basis diantaranya:

No	Panjang Garis Basis	Jenis Garis Basis
1	1 - 5 (Km)	Garis Basis Pendek
2	5 - 30 (Km)	Garis Basis Sedang
3	> 30 (Km)	Garis Basis Panjang

2.4.1. Konfigurasi Jaringan

Kekuatan jaringan adalah faktor yang harus dipertimbangkan dalam mengembangkan sebuah sistem jaringan untuk mempertahankan perhitungan agar tetap dalam tingkat presisi yang diinginkan. *US Coast and Geodetic Survey* telah mengembangkan sebuah metode dalam mengevaluasi kekuatan jaringan. Metode ini didasarkan pada perhitungan dalam jaringan yang melibatkan penggunaan sudut segitiga dan panjang dari satu sisi yang diketahui. Sisa sisi lainnya dihitung dengan hukum sinus. Untuk sebuah perubahan tertentu dalam sudut, sinus sudut yang kecil akan berubah lebih cepat dibandingkan dengan sudut yang besar. Hal ini menyatakan bahwa sudut yang lebih kecil dari 30° seharusnya tidak boleh digunakan dalam perhitungan jaringan. Jika, karena situasi yang tidak bisa

dihindari, sudut kurang dari 30° harus digunakan, maka harus dipastikan bahwa sudut ini tidak berlawanan dengan sisi yang panjangnya perlu dihitung untuk kelanjutan seri jaringan

Akurasi dari sebuah jaringan tidak hanya tergantung pada metode yang digunakan dalam observasi tapi juga bentuk dari jaringan tersebut. Sistem untuk mengukur akurasi bentuk dikenal sebagai kekuatan jaringan (*Strength of Figure*).

Untuk mengetahui kekuatan jaringan yang akan diukur dapat diperoleh dengan perhitungan *Strength Of Figure* (SOF) dapat dicari dengan langkah-langkah sebagai berikut :

a. Menyusun matrik A

Yaitu hasil yang diperoleh dari persamaan antara titik awal dan titik akhir yang dituju pada *baseline*.

K11			S11		
XK11	YK11	ZK11	XS11	YS11	ZS11
1	0	0	0	0	0
0	1	0	0	0	0
0	0	1	0	0	0



- ♦ Kolom merupakan keterangan dari titik yang akan dicari koordinatnya.
- ♦ Baris merupakan keterangan garis basis (*baseline*).

b. Menyusun matrik identitas

Matriks identitas (I) adalah matriks yang nilai-nilai elemen pada diagonal utama selalu 1

$$[I] = \begin{vmatrix} 1 & 0 & 0 \\ 0 & 1 & 0 \\ 0 & 0 & 1 \end{vmatrix}$$

c. Menghitung kekuatan jaringan (SOF) adalah :

$$SoF = \frac{\text{Trace} ((A^T \cdot A)^{-1})}{n - u}$$

n dan u masing – masing adalah jumlah data pengamatan dan jumlah parameter yang diestimasi.

Jaringan GPS yang akan dibuat harus selalu terikat ke jaringan GPS yang sudah ada di sekitarnya yang berada lebih tinggi. Semakin banyak titik ikatnya akan semakin baik hasil dari kekuatan jaringan yang akan dapat.

2.4.2. Durasi Pengamatan Garis Basis

Untuk memperoleh data pengamatan garis basis yang baik harus sesuai dengan lamanya proses pengamatan yang disesuaikan dengan jarak antar titik pengamatan GPS.

Tabel 2.2. Standar Durasi Proses Pengamatan Baseline. Total. (2011)

Receiver GPS	Panjang Garis Basis	Lama Pengamatan	Tipe Software Yang Digunakan
Frekuensi L1	0 - 15 km	25 min + 1 min/km + (1 min/100 m perbedaan elevasi)	komersil
Frekuensi L2	0 - 30 km	15 min + 1 min/km + (1 min/100 m perbedaan elevasi)	komersil
	30 - 100 km	15 min + 2 min/km + (1 min/100 m perbedaan elevasi)	komersil
	> 100km	25 min + 1 min/km + (1 min/100 m perbedaan elevasi)	Ilmiah

Data tabel diatas bersumber dari data tabel operasi standar internasional (ISO Total 9001:2010) untuk lamanya proses pengamatan.

2.5. Titik Kontrol Tanah

Titik kontrol tanah merupakan suatu titik dipermukaan tanah yang posisinya diketahui dalam suatu sistem koordinat tertentu. Titik kontrol dapat berupa titik kontrol posisi horisontal atau titik kontrol posisi vertikal atau bahkan ganda (horisontal dan vertikal).

2.5.1. Titik Kontrol Horisontal

Dalam suatu daerah survei GPS, jarak basis yang diamati harus terikat secara langsung dengan kerangka yang berorde lebih tinggi yang sudah ada. hal ini penting untuk menjaga homogenitas dari ketelitian titik kerangka yang bersangkutan terhadap titik yang lain.

secara umum suatu jaringan titik-titik GPS harus terikat minimal ke satu titik tetap yang diketahui koordinatnya, dalam hal ini:

- ♦ titik tersebut memiliki orde ketelitian yang tinggi.
- ♦ titik-titik tetap yang digunakan terdistribusi secara merata meliputi seluruh jaringan.
- ♦ jumlah titik tetap disesuaikan dengan besarannya jaringan, dalam hal ini semakin besar jaringan sebaiknya semakin banyak jumlah titik tetapnya.

jika suatu daerah tidak memiliki titik tetap, maka pembuatan titik tetap baru dapat dilakukan dengan penentuan posisi secara deferensial dalam metode radial atau langsung dengan memanfaatkan stasiun-stasiun tetap yang ada disekitar Indonesia.

Titik kontrol tanah Bakosurtanal sebagai kerangka dasar horisontal memiliki tingkat ketelitian, antara lain:

2.5. Tilt Kontrol Tabası

For example, if you have a list of names and you want to find all the names that start with a specific letter, you can use the `filter` function to create a new list that only contains the names that match your criteria.

Digitized by srujanika@gmail.com

verschneidung der beiden Kategorien kann jedoch nicht bestätigt werden, da die Kategorien nicht aufeinander abgestimmt sind. Eine Korrelation zwischen den beiden Kategorien besteht nicht.

• *zurückgeworfen* werden kann, wenn die Befreiung von der Haftung aufgrund eines Vertrags oder einer gesetzlichen Regelung nicht möglich ist.

Efficient bioabsorbable alginate hydrogels for tissue engineering

- ♦ Titik kontrol orde 0 (nol) Bakosurtanal, titik kontrol orde nol adalah titik kontrol yang paling teliti dengan ketelitian relatif berkisar antara 0.001 ppm (*part per million*) hingga 0.1 ppm. jarak antar titik secara umum 300-3000 km.
- ♦ Titik kontrol orde 1 (satu) Bakosurtanal, titik kontrol orde satu adalah perapatan dari titik kontrol orde nol Bakosurtanal, titik kontrol orde satu memiliki ketelitian relatif berkisar antara 0.1 ppm hingga 2 ppm. jarak antar titik kontrol orde satu secara umum 50 – 300 km.
- ♦ Titik kontrol orde 2 (dua) atau titik dasar teknik orde dua, titik kontrol orde dua memiliki interval jarak antar titik sekitar 5-50 km yang di ikatkan secara langsung pada titik kontrol orde nol atau orde satu Bakosurtanal.
- ♦ Titik kontrol orde 3 (tiga) atau titik dasar teknik orde tiga, titik kontrol orde tiga adalah titik kontrol hasil penerapan dari titik kontrol orde dua. jaring kontrol orde tiga memiliki interval jarak antar titik berkisar 2-4 km.

2.6. Pengolahan Data Survey GPS

Pengolahan data survei GPS dimulai dari pengolahan jarak basis per jarak basis, dilanjutkan perataan jaringan untuk mendapatkan koordinat definitif titik, serta transformasi datum koordinat.

2.6.1. Pengolahan Jarak Basis

Pengolahan jarak basis pada dasarnya bertujuan untuk menghitung vektor jarak basis (dX , dY , dZ) menggunakan data *fase* sinyal GPS yang dikumpulkan pada dua titik ujung dari jarak basis yang bersangkutan.

Pada survei GPS pengolahan jarak basis pada umumnya dilakukan secara bertahap satu per satu (*single jarak basis*) dari jarak basis ke jarak basis, dimulai dari satu jarak basis yang telah diketahui koordinatnya, sehingga membentuk satu jaringan tertutup. namun pengolahan jarak basis dapat juga dilakukan secara sesi per sesi pengamatan, dalam hal ini satu sesi terdiri dari beberapa jarak basis (*single session, multi jarak basis*).

proses penentuan jarak basis umumnya dimulai dengan pemrosesan awal seperti pembersihan data dari *outlier* serta sinkronisasi data dari kedua stasiun. selanjutnya, satu stasiun dijadikan sebagai titik referensi yang koordinatnya sudah diketahui. koordinat pendekatan dari stasiun yang lain umumnya pertama kali ditentukan dengan data *fase tiple-difference* (TD). Solusi jarak basis pendekatan ini selanjutnya ditentukan secara lebih teliti menggunakan data *double-difference* (DD), pertama dengan ambiguitas dibiarkan sebagai bilangan real dan akhirnya dengan ambiguitas *fase* bilangan integer.

untuk mengecek kualitas vektor jarak basis yang diperoleh dari suatu proses pengolahan jarak basis GPS, ada beberapa indikator kualitas yang dapat dipantau, yaitu:

- ♦ nilai standar deviasi dari residual pengamatan.
- ♦ nilai-nilai rms (*root mean squares*)
- ♦ nilai faktor variasi *a posteriori*
- ♦ jumlah *cyricle slips* yang terjadi selama pengamatan.

Secara umum untuk keperluan survei GPS, seandainya vektor ambiguitas fase dapat ditentukan secara baik dan nilai standar deviasi dari komponen koordinat yang diperoleh berada pada level beberapa cm, maka dapat dikatakan

bahwa pengolahan jarak basis GPS tersebut telah dilaksanakan dengan baik dan umumnya hasilnya dapat diterima.

2.6.2. Perataan Jaringan

Setelah semua jarak basis selesai dihitung, pada tahap selanjutnya jarak basis tersebut digabung untuk proses perataan jaringan sehingga mendapatkan harga koordinat final dari titik-titik dalam jaringan.

Ada beberapa metode hitung perataan yang dapat diaplikasikan untuk perataan jaringan GPS, dan yang paling umum digunakan dalam hal ini adalah hitung perataan kuadran terkecil (*last squares adjustment*). dalam hal ini dua jenis hitungan perataan jaringan digunakan, yaitu hitung perataan jaringan bebas (*free network adjustment*) dan hitungan perataan jaringan terikat (*constrained network adjustment*).

pada perataan jaringan bebas, yang dinamakan juga sebagai perataan berkendala minimal, perataannya dilakukan dengan menggunakan satu titik sebagai titik tetap. perataan jaringan bebas ini biasa digunakan untuk mengecek konsistensi dari data-data ukuran jarak basis yang digunakan. sedangkan pada perataan jaringan terikat, perataan jaringan GPS dilakukan dengan mengikutsertakan semua titik tetap yang ada. perataan jaringan ini dilakukan untuk mendapatkan harga koordinat yang definitif dari titik-titik dalam jaringan.

2.6.3. Transformasi Datum

Prinsip transformasi datum adalah pengamatan pada titik-titik yang sama (titik sekutu) yang memiliki koordinat dalam berbagai datum. Dari koordinat-koordinat ini dapat diketahui hubungan matematis antara datum-datum yang bersangkutan. Hubungan matematis antar datum ini dapat dinyatakan dengan 7 parameter transformasi, yaitu translasi titik asal (dx, dy, dz), rotasi sumbu koordinat (rx, ry, rz) dan skala (s). selanjutnya titik-titik lain dapat di transformasikan dengan 7 parameter diatas kedalam rumus bursa wolf.



2.6.4. Transformasi Sistem Koordinat.

dalam penentuan posisi suatu titik dipermukaan bumi, titik nol dari sistem koordinat yang digunakan dapat berlokasi dititik pusat masa bumi (sistem koordinat geosentrik). maupun di salah satu titik dipermukaan bumi (sistem koordinat toposentrik). sistem koordinat geosentrik banyak digunakan dalam metode-metode penentuan posisi ekstra terestris yang menggunakan satelit dan benda-benda langit lainnya. sistem koordinat toposentrik banyak digunakan dalam metode-metode penentuan posisi terestris. dilihat dari orientasi sumbunya, ada sistem koordinat yang sumbu-sumbunya ikut berotasi dengan bumi (terikat bumi) dan ada yang tidak (terikat langit). sistem koordinat yang terikat bumi umumnya digunakan untuk menyatakan posisi titik-titik yang berada di bumi, dan sistem yang terikat langit umumnya dinyatakan untuk menyatakan posisi titik dan objek di angkasa, seperti satelit dan benda-benda langit. dilihat dari besaran koordinat yang digunakan, posisi suatu titik dalam sistem koordinat ada yang dinyatakan



annibale2002 me@isipnet.it T.4.0.2

dengan besaran-besaran jarak seperti sistem koordinat kartesian, dan ada yang dengan besaran-besaran sudut dan jarak seperti sistem koordinat geodetik.

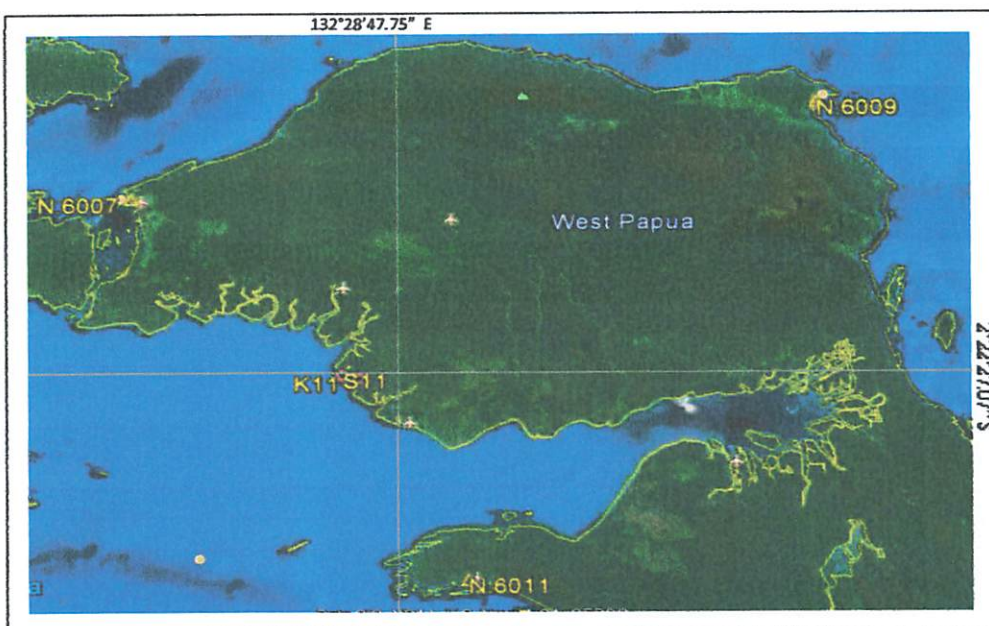
pada penentuan posisi dengan GPS, posisi titik dipermukaan bumi diberikan dalam koordinat kartesian 3D (x,y,z) dalam sistem koordinat WGS 84 (*World Geodetic System 1984*), yang merupakan suatu realisasi dari sistem CTS (*Conventional Terrestrial System*). koordinat kartesian (X,Y,Z) tersebut selanjutnya dapat di transformasikan menjadi koordinat geodetik (ϕ,λ,h) seandainya diperlukan.

BAB III

PELAKSANAAN PENELITIAN

3.1. Waktu dan Lokasi Penelitian

Pelaksanaan penelitian ini dilaksanakan pada bulan Januari – April 2013 meliputi pengolahan data GPS basis panjang yang diperoleh dari hasil pengamatan GPS pada bulan Juni 2012 di lokasi Provinsi Papua Barat.



Gambar 3.1. Lokasi Penelitian Di Provinsi Papua Barat.

3.2. Materi dan Peralatan Penelitian

Materi dan peralatan yang digunakan dalam penelitian ini meliputi:

1. Materi yang digunakan dalam penelitian
 - ♦ Data hasil pengamatan GPS Geodetik



- ♦ 3 titik kontrol horisontal Bakosurtanal

Tabel 3.1. Titik Kontrol Horisontal Bakosurtanal

Sistem Proyeksi UTM (Universal Tranverse Mercator) Datum WGS 84						
No	Point ID	Easting (m)	Noarthing (m)	Zone	Nama Lokasi	Orde
1	N.6009	394341.174	9901377.56	53S	Manokwari	1
2	N.6011	195908.913	9676953.863	53S	Fak-fak	1
3	N.6007	750802.274	9903191.207	52S	Sorong	1

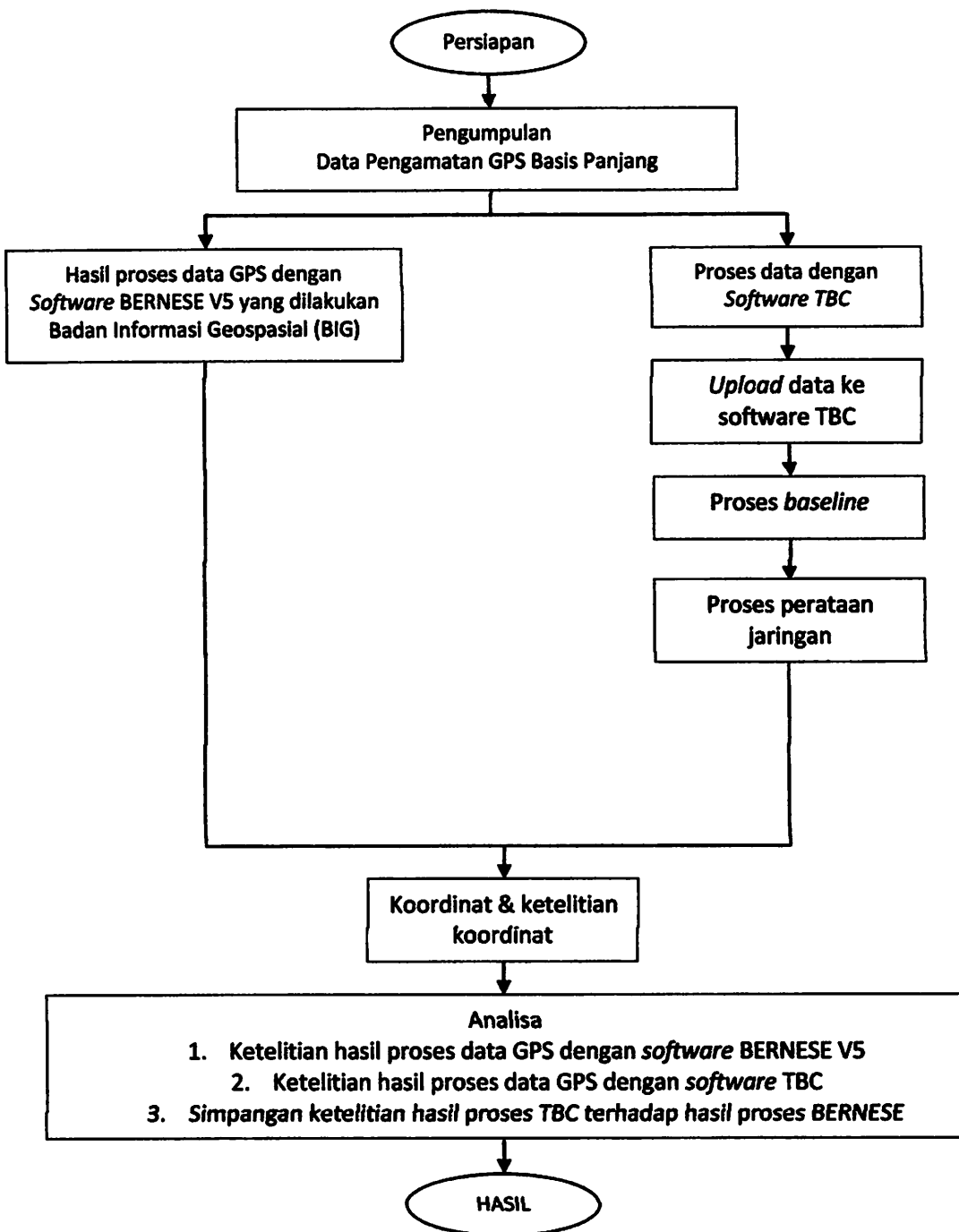
Untuk informasi titik kontrol horisontal lengkapnya bisa dilihat pada *lampiran 1.*

2. Peralatan yang digunakan meliputi:

1. Perangkat Keras
 - ♦ Komputer
 - ♦ *Dongle Trimble Buciness Center (TBC)*
2. Perangkat lunak
 - ♦ *Software Trimble Buciness Center (TBC)*
 - ♦ *Microsoft Office 2007*
 - ♦ Mozilla Firefox

3.3. Tahapan Penelitian

Dalam penelitian yang berjudul “ *Tinjauan Ketelitian Hasil Pengolahan Data GPS Basis Panjang Menggunakan Trimble Business Center (TBC)*” digambarkan proses tahapan penelitian dalam bentuk *flowchart* sebagai berikut:



Gambar 3.2. Diagram Alir Penelitian

Keterangan diagram alir (*Flowchart*) penelitian.

1. Persiapan

Persiapan dalam penelitian meliputi segala keperluan yang akan digunakan dalam proses penelitian berupa data hasil pengukuran, *hardware*, dan *software*.

2. Pengumpulan data pengamatan GPS basis panjang

Pengumpulan data pengamatan berupa data RAW GPS, informasi deskripsi BM, dan data titik BM referensi yang diperoleh dari Bakosurtanal.

3. Proses *baseline* dengan *software* TBC

Pengolahan *baseline* dengan menggunakan *software Commercial* TBC sebagai proses penelitian merupakan pengolahan *baseline* yang bertujuan menghitung vektor jarak basis (dx, dy, dz) menggunakan data fase sinyal GPS yang dikumpulkan.

4. Perataan jaringan GPS

Setelah semua jarak basis dihitung, pada tahap selanjutnya jarak basis tersebut digabungkan untuk dilakukan proses perataan jaringan untuk menghasilkan koordinat final. Pada perataan jaringan GPS ini menggunakan metode hitung perataan kuadrat terkecil.

5. Analisa hasil proses pengolahan data GPS basis panjang dengan TBC

Setelah mendapatkan koordinat hasil perataan, kemudian dilakukan analisa peninjauan tingkat ketelitian proses basis panjang dengan TBC dalam mendekati tingkat ketelitian proses basis panjang dengan BERNESE Versi 5.

3.4. Pengumpulan Data Pengamatan GPS

Dalam pengumpulan data terdapat standar pengukuran untuk bisa mendapatkan hasil pengukuran data pengamatan GPS yang baik diantaranya:

- ♦ 6 atau lebih satelit berada di atas sudut 15° (*elevation mask*).
- ♦ GDOP < atau = 4
- ♦ Lama pengamatan disesuaikan dengan panjang jarak basis (*baseline*)

Pengumpulan data dilakukan selama 3 hari. Setiap hari dilakukan pengukuran selama 7.5 – 9 jam/hari.

Untuk pengukuran tinggi alat GPS dan lama pengamatan GPS bisa dilihat pada tabel 3.2.

Tabel 3.2. Data Observasi GPS

Date	Receiver S/N	Point ID	Start UTC	End UTC	Instrument Height (m)	Elevation Mask	Antenna	Method
21 June 2012	6796	N.6007/SP-5	7:30	16:30	0.687	<15°	Zephyr Geodetic	Bottom of Notch
21 June 2012	2199	N.6011	7:30	16:30	1.472	>15°	Zephyr Geodetic	Bottom of Notch
21 June 2012	2209	N.6009	7:30	16:30	1.087	>15°	Zephyr Geodetic	Bottom of Notch
21 June 2012	0488	K11	9:00	16:00	1.540	±45°	Zephyr	Top of Notch
21 June 2012	9119	S11	7:30	16:30	1.241	±40°	Zephyr Geodetic	Bottom of Notch
22 June 2012	6796	N.6007/SP-5	7:25	16:35	0.728	<15°	Zephyr Geodetic	Bottom of Notch
22 June 2012	2199	N.6011	7:30	16:30	1.425	>15°	Zephyr Geodetic	Bottom of Notch
22 June 2012	2209	N.6009	7:10	16:30	1.143	>15°	Zephyr Geodetic	Bottom of Notch
22 June 2012	488	K11	8:30	16:00	1.458	±45°	Zephyr	Top of Notch
22 June 2012	9119	S11	7:30	16:30	1.445	±40°	Zephyr Geodetic	Bottom of Notch
23 June 2012	6796	N.6007/SP-5	7:25	16:35	0.71	<15°	Zephyr Geodetic	Bottom of Notch
23 June 2012	2199	N.6011	7:30	16:30	1.454	>15°	Zephyr Geodetic	Bottom of Notch
23 June 2012	2209	N.6009	7:25	16:30	1.16	>15°	Zephyr Geodetic	Bottom of Notch
23 June 2012	488	K11	8:00	16:00	1.526	±45°	Zephyr	Top of Notch
23 June 2012	9119	S11	7:30	16:30	1.252	±40°	Zephyr Geodetic	Bottom of Notch

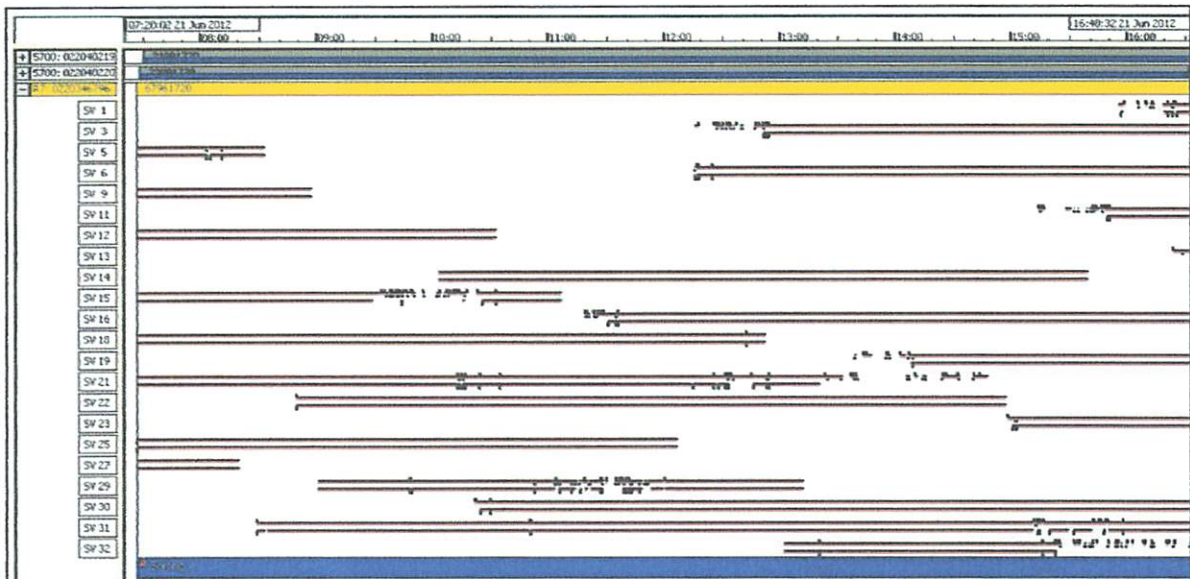
Hasil pengumpulan data pengamatan GPS selama 3 hari di kawasan lindung yang banyak tumbuh semak – semak dan pohon bakau yang sebagian telah dipotong untuk memenuhi standar pengukuran *elevation mask >15°* bisa dilihat pada *Timeline* data GPS yang ditampilkan pada gambar dibawah:

Table 3.3. Timeline Data GPS

Diukur pada tanggal 21 Juni 2012

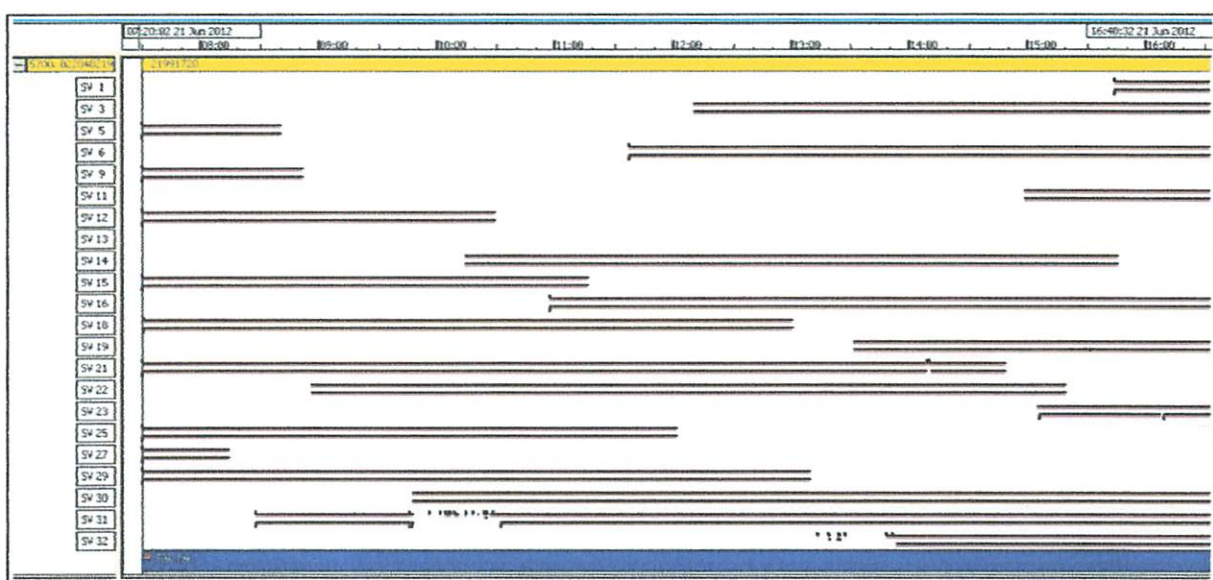
Nomor Seri Alat: 0220346796

Lokasi: Titik N.6007, Kabupaten Sorong



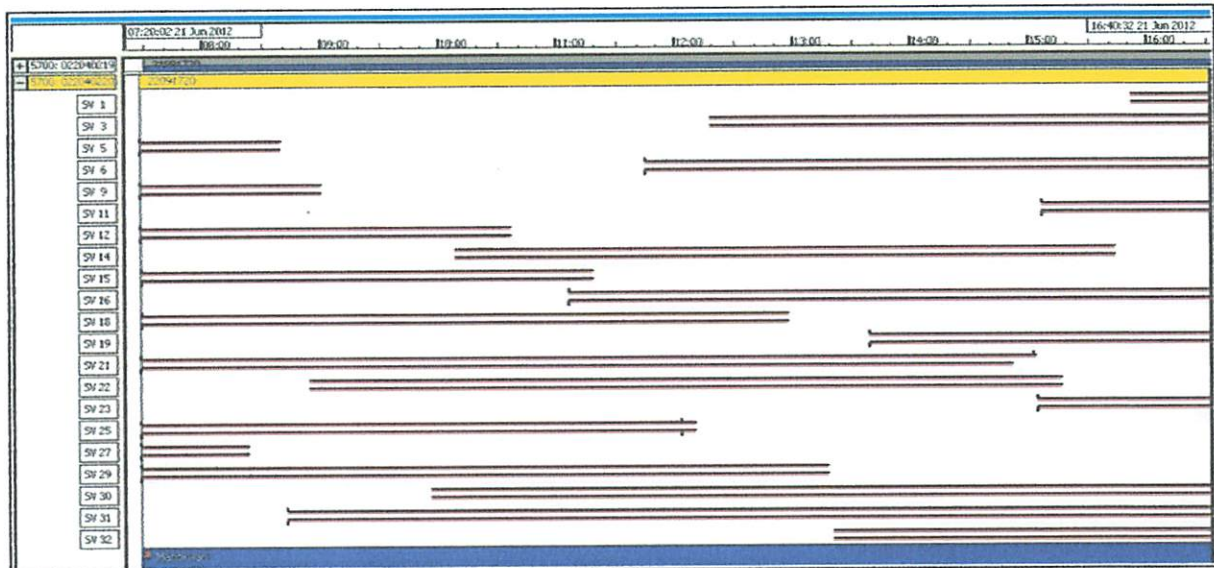
Nomor Seri Alat: 0220402199

Lokasi: Titik N.6011, Kabupaten Fak-Fak



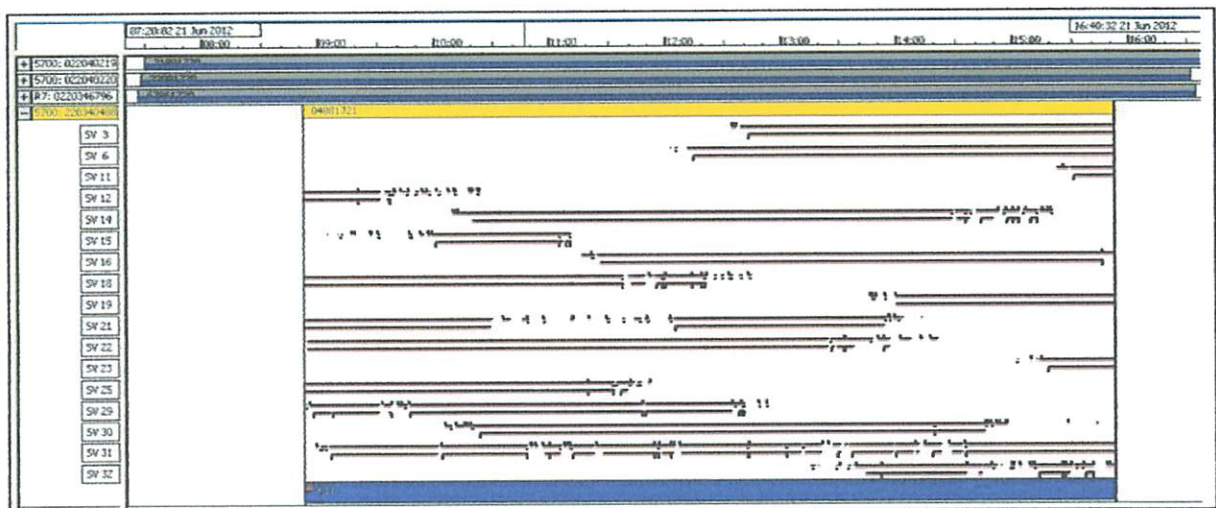
Nomor Seri Alat: 0220402209

Lokasi: Titik N.6009, Kabupaten Manokwari.



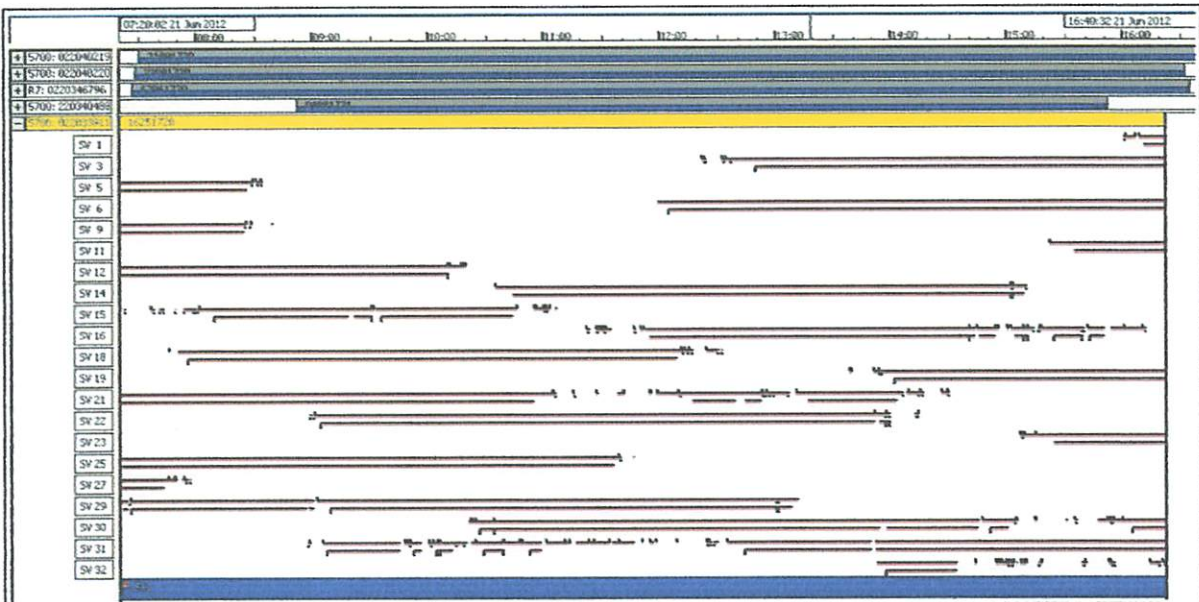
Nomor Seri Alat: 220340488

Lokasi: Titik N11, Kais



Nomor Seri Alat: 0220339119

Lokasi: Titik S11, Kais



3.5. Pemrosesan Data

Tahap pemrosesan data GPS dengan perangkat lunak *Trimble Business Center* (TBC) dimulai dari pemrosesan *baseline* dan perataan jaringan.

3.5.1. Pemrosesan *Baseline*

Pemrosesan *baseline* diawali dengan proses *import* data GPS dalam *software* TBC dan menambahkan informasi *point ID*, tinggi GPS, jenis antena GPS, dan metode pengukuran tinggi GPS dalam data pengamatan GPS seperti tergambar pada *Tabel 3.4*.

Tabel 3.4. Informasi Instrument GPS pada saat pengamatan

S/N	Point ID	Start	End	Instrument Height (m)	Antenna	Method	Receiver	Location
6796	N.6007	7.30	16.30	0.687	Zephyr Geodetic	Bottom of Notch	Trimble R7	Sorong
2199	N.6011	7.30	16.30	1.472	Zephyr Geodetic	Bottom of Notch	Trimble 5700	Fak-Fak
2209	N.6009	7.30	16.30	1.087	Zephyr Geodetic	Bottom of Notch	Trimble 5700	Manokwari
0488	K11	9.00	16.00	1.540	Zephyr	Top of Notch	Trimble 5700	Site
9119	S11	7.30	16.30	1.241	Zephyr Geodetic	Bottom of Notch	Trimble 5700	Site

Tahap pengolahan setelah dilakukan proses *import* data dijelaskan sebagai berikut:

1. Melakukan pengaturan pada *baseline processing style* seperti berikut:
 - Solution Type : Fixed
 - Frequency : Multiple Frequencies
 - Processing Interval : Use all data
 - Antenna model : Automatic
 - Emphemeris Type : Automatic
 - Elevation Mask : 10 Deg
2. Setelah data pengamatan GPS dipilih dan dilakukan proses *import* dilanjutkan dengan proses *receiver raw data check in*, yaitu proses *input* data yang tercantum pada table 3.4.
3. Proses *import* data pengamatan GPS dilakukan berulang-ulang seperti pada tahap dua hingga seluruh data pengamatan GPS selesai di *import*. Kemudian dilakukan proses *baseline* dengan memilih menu *survey – Process baselines*.
4. Setelah proses *baseline* dilakukan akan diperoleh *report* yang menginformasikan hasil perhitungan dari setiap *baseline*.

मानविकी विज्ञान के अधिकारी एवं विद्यार्थी एवं विद्यार्थीयों के लिए एक विशेष वित्तीय सहायता

† Հօնարձ եւուշ քաջան գլուխան պատ զիւմով հեռա հասէ

330562 प्रवासी

Կանոնական նաշա քաջակ զօնի սպառը առա չափ.

2. Проверка табло для изолитического стекла для определения соответствия требованиям

զարկանի բառակայութեան մասին

զյուղական գործություններում առ պատճեն առ հարս եցուք մինչ

1. Ապրանքային և սպառական եղանակներում նաև առաջարկ է առնելու համար:

PUBLICATIONS

Հարսկան խոհական հայությունը պատճենաբառ է այս գործառքությունում:

Order ID	Customer Name	Order Date	Shipped Date	Delivery Status	Order Type	Order Details	Order Status	Order Total	Order Status
ORD-2023-001	John Doe	2023-01-01	2023-01-05	Pending	Standard	Product A: 1 unit, Product B: 1 unit	Placed	\$100.00	Placed
ORD-2023-002	Jane Smith	2023-01-02	2023-01-06	Pending	Standard	Product C: 1 unit, Product D: 1 unit	Placed	\$120.00	Placed
ORD-2023-003	Bob Johnson	2023-01-03	2023-01-07	Pending	Standard	Product E: 1 unit, Product F: 1 unit	Placed	\$110.00	Placed
ORD-2023-004	Sarah Williams	2023-01-04	2023-01-08	Pending	Standard	Product G: 1 unit, Product H: 1 unit	Placed	\$130.00	Placed
ORD-2023-005	David Lee	2023-01-05	2023-01-09	Pending	Standard	Product I: 1 unit, Product J: 1 unit	Placed	\$140.00	Placed
ORD-2023-006	Emily Davis	2023-01-06	2023-01-10	Pending	Standard	Product K: 1 unit, Product L: 1 unit	Placed	\$150.00	Placed
ORD-2023-007	Michael Green	2023-01-07	2023-01-11	Pending	Standard	Product M: 1 unit, Product N: 1 unit	Placed	\$160.00	Placed
ORD-2023-008	Amy White	2023-01-08	2023-01-12	Pending	Standard	Product O: 1 unit, Product P: 1 unit	Placed	\$170.00	Placed
ORD-2023-009	Kevin Black	2023-01-09	2023-01-13	Pending	Standard	Product Q: 1 unit, Product R: 1 unit	Placed	\$180.00	Placed
ORD-2023-010	Laura Brown	2023-01-10	2023-01-14	Pending	Standard	Product S: 1 unit, Product T: 1 unit	Placed	\$190.00	Placed

Pemrosesan *baseline* menghasilkan nilai ketelitian dari pengolahan vektor *baseline* seperti nilai RMS, *horizontal precision*, *vertical precision*, *maximum PDOP* yang dilaporkan dalam laporan pemrosesan *baseline* TBC pada *Lampiran 2*.

3.5.2. Proses *Loop Closure*

Pada tahap proses *loop closure* dilakukan pengecekan jaringan GPS yang terbentuk setelah dilakukan proses *baseline*. Adapun tahapannya sebagai berikut:

1. Pilih menu *survey* – *GNSS Loop Closure* sehingga program TBC akan melakukan proses *loop closure* pada semua jaringan yang terbentuk.
2. Selanjutnya ditampilkan laporan dari hasil proses *loop closure* seperti pada *tabel 3.5*. untuk laporan lebih lengkapnya dapat dilihat pada *lampiran 3*.

Tabel 3.5. Laporan Hasil Proses Loop Closure Program TBC

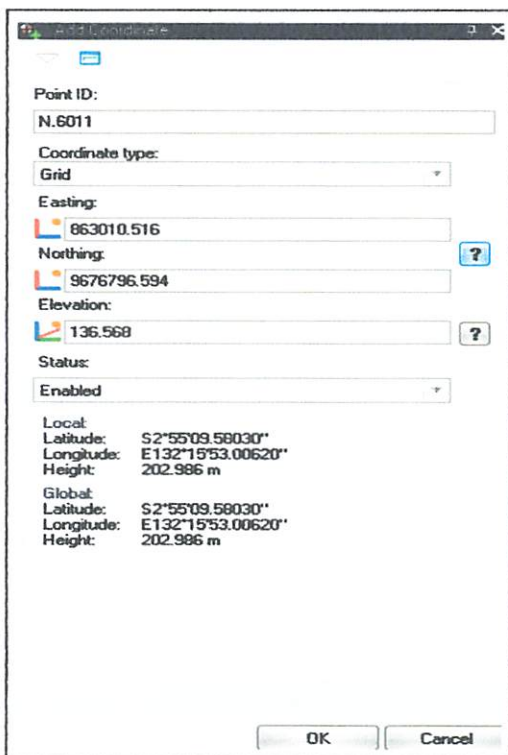
Project Information		Coordinate System	
Name:	D:\aaa\IA\Q\Skripsi\2Data\Skripsi\2Data\Skripsi\Copy of Baseline.vce	Name:	UTM
Size:	534 KB	Date:	WGS 1984
Modified:	25/07/2013 12:47:02 (UTC+7)	Zone:	52 South (129E)
Time zone:	SE Asia Standard Time	Geod:	EGM96 (Global)
Reference number:		Vertical datum:	
Description:			

GNSS Loop Closure Results					
Summary					
Legs in loop:	3	Length (metre)	ΔSD (metre)	ΔHori (metre)	ΔVert (metre)
Number of Loops:	132		0.022	0.007	-0.031
Number Passed:	129		0.387	0.382	0.283
Number Failed:	3	Average Loop	489000.422	0.108	0.088
		Standard Error	195281.743	0.179	0.144
					PPM
					1
Passed/Fail Criteria					
Best					0.013
Worst					1.305
Average Loop					0.371
Standard Error					0.244

3.5.3. Proses Perataan Jaringan

Setelah proses *loop closure* pada tahap berikutnya *baseline* digabungkan untuk proses pada satu perataan jaringan untuk mendapatkan nilai koordinat dari titik yang dicari dalam jaringan. Tahapan proses perataan jaringan sebagai berikut:

1. Melakukan *input* koordinat titik kontrol N.6011, N.6009, dan N.6007 yang digunakan dalam jaringan dengan memilih titik yang akan digunakan sebagai titik kontrol kemudian klik kanan dan pilih *add coordinate* sehingga akan ditampilkan windows *add coordinate* seperti pada gambar 3.3. masukkan koordinat titik kontrol setelah itu *icon* diganti dengan *icon* untuk menandakan kualitas koordinat yang digunakan.



Gambar 3.3. Proses Add Coordinate Titik Kontrol. Software TBC 2013.

2. Setelah semua koordinat titik kontrol dimasukkan dilakukan proses perataan jaringan dengan memilih menu *survey – adjust network* sehingga akan diperoleh proses perataan jaringan.
3. Dengan selesainya proses *network adjustment* akan diperoleh nilai koordinat titik yang dicari beserta nilai ketelitian titik tersebut yang ditampilkan dalam *report network adjustment* seperti pada gambar 3.4.

Network Adjustment Report

Adjustment Settings							
Set-Up Errors							
GNSS							
Error in Height of Antenna:	0.000 m						
Centering Error:	0.000 m						
Covariance Display							
Horizontal							
Propagated Linear Error [E]:	U.S.						
Constant Term [C]:	0.000 m						
Scale on Linear Error [S]:	1.960						
Three-Dimensional							
Propagated Linear Error [E]:	U.S.						
Constant Term [C]:	0.000 m						
Scale on Linear Error [S]:	1.960						
Adjustment Statistics							
Number of Iterations for Successful Adjustment: 2							
Network Reference Factor:	1.00						
Chi-Square Test (95%):	Passed						
Precision Confidence Level:	95%						
Degrees of Freedom:	47						
Post Processed Vector Statistics							
Reference Factor:	1.00						
Redundancy Number:	47.00						
A Priori Scale:	259.73						
Adjusted Grid Coordinates							
Point ID	Easting (dmetres)	Easting Error (dmetres)	Bearing (degrees)	Bearing Error (degrees)	Elevation (metres)	Elevation Error (metres)	Constraint
K_11	166398.596	2.074	9791047.613	0.702	2.567	3.446	
N_6007	820655.564	?	9903058.043	?	67.603	?	LLh
N_6009	39341.173	?	9901377.559	?	4.845	?	LLh
N_6011	192306.913	?	9476053.862	?	136.568	?	LLh
S_11	195021.607	1.904	9793837.563	0.670	1.913	3.154	



Gambar 3.4. Report Proses Network Adjustment. Software TBC 2013

Pemrosesan menghasilkan nilai ketelitian koordinat dari pengolahan perataan jaringan yang dilaporkan dalam laporan pemrosesan *Network Adjustment* TBC pada *Lampiran 4*.

BAB IV

PEMBAHASAN DAN ANALISA HASIL

4.1. Proses Pengamatan

Pengamatan direncanakan dengan mempertimbangkan hal-hal sebagai berikut:

1. Pemakaian receiver GPS

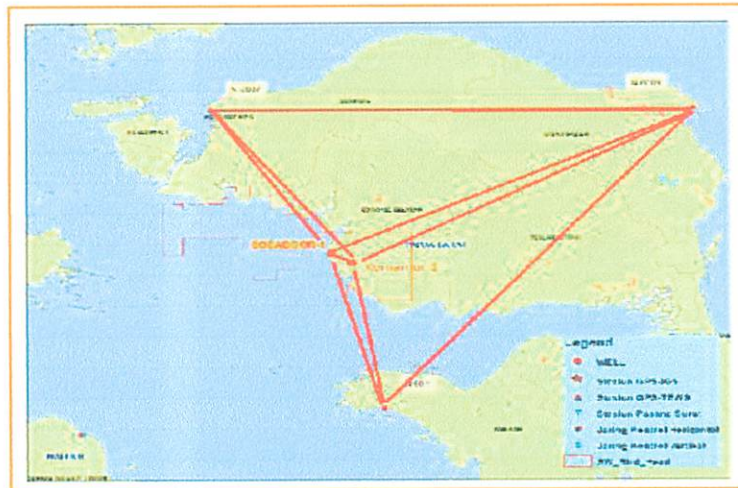
Dalam penelitian ini digunakan jenis *receiver geodetic Trimble L1,L2* yang tersebar di stasiun-stasiun titik pengamatan antara lain:

- ◆ Titik kontrol N.6007 yang berlokasi di Sorong (*Receiver Trimble R7*)
- ◆ Titik kontrol N.6009 yang berlokasi di Manokwari (*Receiver Trimble 5700*)
- ◆ Titik kontrol N.6011 yang berlokasi di Fakfak (*Receiver Trimble 5700*)
- ◆ 2 Titik BM Kais (*Receiver Trimble 5700*)

2. Panjang jarak basis pengamatan

No.	Baseline GPS	Jarak (km)
1	N.6007-N.6009	311.854
2	N.6011-N.6009	299.509
3	N.6011-N.6007	252.478
4	N.6007-K11	139.541
5	N.6007-S11	133.311
6	N.6009-S11	258.101
7	N.6009-K11	253.167
8	N.6011-K11	117.745
9	N.6011-S11	122.276
10	S11-K11	7.32

3. Konfigurasi jaringan pada pengamatan



Gambar 4.1. Konfigurasi Jaringan Pengamatan GPS

Perhitungan kekuatan jaringan pada pengamatan sebagai berikut:

SOF	Baseline	K11			S11		
		XK11	YK11	ZK11	XS11	YS11	ZS11
1	N.6011-K11	1	0	0	0	0	0
		0	1	0	0	0	0
		0	0	1	0	0	0
2	N.6011-S11	0	0	0	1	0	0
		0	0	0	0	1	0
		0	0	0	0	0	1
3	K11-S11	1	0	0	-1	0	0
		0	1	0	0	-1	0
		0	0	1	0	0	-1
4	N.6009-K11	1	0	0	0	0	0
		0	1	0	0	0	0
		0	0	1	0	0	0
5	N.6009-S11	0	0	0	1	0	0
		0	0	0	0	1	0
		0	0	0	0	0	1
6	N.6009-N.6011	0	0	0	0	0	0
		0	0	0	0	0	0
		0	0	0	0	0	0
7	N.6007-K11	1	0	0	0	0	0
		0	1	0	0	0	0
		0	0	1	0	0	0
8	N.6007-S11	0	0	0	1	0	0
		0	0	0	0	1	0
		0	0	0	0	0	1
9	N.6007-N.6009	0	0	0	0	0	0
		0	0	0	0	0	0
		0	0	0	0	0	0



$$AT = \begin{vmatrix} 1 & 0 & 0 & 0 & 0 & 0 & 1 & 0 & 0 & 1 & 0 & 0 & 0 & 0 & 0 & 0 & 0 & 0 & 0 & 0 & 0 & 0 & 0 & 0 & 0 \\ 0 & 1 & 0 & 0 & 0 & 0 & 0 & 1 & 0 & 0 & 1 & 0 & 0 & 0 & 0 & 0 & 0 & 0 & 0 & 0 & 1 & 0 & 0 & 0 & 0 & 0 & 0 \\ 0 & 0 & 1 & 0 & 0 & 0 & 0 & 0 & 1 & 0 & 0 & 1 & 0 & 0 & 0 & 0 & 0 & 0 & 0 & 0 & 0 & 1 & 0 & 0 & 0 & 0 & 0 \\ 0 & 0 & 0 & 1 & 0 & 0 & -1 & 0 & 0 & 0 & 0 & 0 & 1 & 0 & 0 & 0 & 0 & 0 & 0 & 0 & 0 & 1 & 0 & 0 & 0 & 0 & 0 \\ 0 & 0 & 0 & 0 & 1 & 0 & 0 & -1 & 0 & 0 & 0 & 0 & 0 & 1 & 0 & 0 & 0 & 0 & 0 & 0 & 0 & 0 & 1 & 0 & 0 & 0 & 0 \\ 0 & 0 & 0 & 0 & 0 & 1 & 1 & 0 & 0 & 0 & 0 & 0 & 0 & 0 & 1 & 0 & 0 & 0 & 0 & 0 & 0 & 0 & 0 & 1 & 0 & 0 & 0 \end{vmatrix}$$

$$AT^T A = \begin{vmatrix} 1 & 0 & 0 & 0 & 0 & 0 \\ 0 & 1 & 0 & 0 & 0 & 0 \\ 0 & 0 & 1 & 0 & 0 & 0 \\ 0 & 0 & 0 & 1 & 0 & 0 \\ 0 & 0 & 0 & 0 & 1 & 0 \\ 0 & 0 & 0 & 0 & 0 & 1 \end{vmatrix}$$

$$(AT^T A)^{-1} = \begin{vmatrix} 1 & 0 & 0 & 0 & 0 & 0 \\ 0 & 1 & 0 & 0 & 0 & 0 \\ 0 & 0 & 1 & 0 & 0 & 0 \\ 0 & 0 & 0 & 1 & 0 & 0 \\ 0 & 0 & 0 & 0 & 1 & 0 \\ 0 & 0 & 0 & 0 & 0 & 1 \end{vmatrix}$$

$$n-u = 27 - 6 = 21$$

SOF = 0.285714286

Dengan nilai perhitungan *Strength of Figure* (SOF) yang menghasilkan nilai 0.285714286 menunjukkan bahwa akurasi dari kekuatan relative sebuah segitiga cukup baik. Dalam hal ini akurasi dari kekuatan relatif sebuah segitiga diekspresikan sebagai angka 1. Dalam hal ini semakin kecil bilangan faktor kekuatan jaringan tersebut di atas, maka akan semakin baik konfigurasi jaringannya begitu juga sebaliknya.

4.2. Analisa Proses Pengolahan *Baseline*

Proses pengolahan *baseline* dilakukan dengan bertahap dari hari pertama pengamatan hingga hari ketiga dalam hal ini digunakan data hasil pengamatan yang paling baik dari tiap-tiap *baseline*, sehingga data hasil proses *baseline* yang *float* tidak digunakan dalam proses perataan jaringan.

$$\begin{vmatrix} 0 & 0 \\ 0 & 0 \\ 0 & 0 \\ 0 & 0 \\ 0 & 0 \\ 0 & 0 \\ 0 & 0 \end{vmatrix} = TA$$

$$\begin{vmatrix} 0 & 0 \\ 0 & 0 \\ 0 & 0 \\ 0 & 0 \\ 0 & 0 \end{vmatrix} = A^T A$$

$$\begin{vmatrix} 0 & 0 \\ 0 & 0 \\ 0 & 0 \\ 0 & 0 \\ 0 & 0 \end{vmatrix} = I - (A^T A)$$

$$SOE = 0.385344588$$

$$n-a = 32 - 8 = 24$$

Ditunjukkan bahwa perhitungan dengan menggunakan Algoritma SOE hanya menggunakan nilai output pada Distanse yang ini akhirnya dari perkiraan lokasi sampai sejauh diketahui posisi satelit. Distanse yang ini sejauhnya tidak berpengaruh terhadap hasil perhitungan lokasi sampai sejauhnya posisi satelit yang diketahui masih dalam jangkauan pengaruhnya.

4.2. Afirmasi Proses Pengolahan Radar

Proses pengolahan radar yakni dilakukan dengan cara perbaikan data hasil perhitungan pengolahan pindah-pindah dan proses pemotongan yang bersifat diskrit tidak bisa dihindari yakni dengan memotong sebagian besar data sinyal radar yang tidak relevan dengan titik objek yang dituju.

Adapun parameter proses *baseline* yang digunakan adalah:

Tabel 4.1. Parameter Proses Garis Basis (Baseline)

Baseline	Parameter Pemrosesan Garis Basis				
	Elevation Mask	Ephemeris	Solution Type	Processing interval	Antenna Model
N.6007-N.6009	15°	Broadcast	Fixed	15 seconds	US NGS
N.6011-N.6009	15°	Broadcast	Fixed	15 seconds	US NGS
N.6011-N.6007	15°	Broadcast	Fixed	15 seconds	US NGS
N.6007-K11	15°	Broadcast	Fixed	15 seconds	US NGS
N.6007-S11	15°	Broadcast	Fixed	15 seconds	US NGS
N.6009-S11	15°	Broadcast	Fixed	15 seconds	US NGS
N.6009-K11	15°	Broadcast	Fixed	15 seconds	US NGS
N.6011-K11	15°	Broadcast	Fixed	15 seconds	US NGS
N.6011-S11	15°	Broadcast	Fixed	15 seconds	US NGS
S11-K11	15°	Broadcast	Fixed	15 seconds	US NGS

Dengan pilihan parameter proses *baseline* tersebut diatas, di dapatkan kualitas hasil perhitungan *baseline* sebagai berikut:



Tabel 4.2. Hasil Proses Baseline TBC 3 Hari Pengamatan

Baseline	Jarak	Hari Pengamatan	RMS (m)	Horizontal Precision (m)	Vertical Precision (m)	Keterangan
N.6009-K11 (B8)	253.167	1	0.022	0.061	0.048	Fixed
N.6009-S11 (B12)	258.101		0.024	0.041	0.047	Fixed
N.6007-K11 (B7)	139.541		0.02	0.074	0.05	Fixed
N.6007-S11 (B11)	133.311		0.01	0.046	0.051	Fixed
N.6011-S11 (B13)	122.276		0.022	0.075	0.049	Fixed
N.6011-K11 (B9)	117.745		0.013	0.082	0.039	Fixed
N.6009-N.6007 (B2)	311.305		0.027	0.047	0.037	Float
N.6009-N.6011 (B1)	299.509		0.084	0.038	0.045	Fixed
S11-K11 (B10)	7.32		0.003	0.006	0.03	Fixed
N.6009-K11 (B18)	253.167	2	0.017	0.089	0.062	Fixed
N.6009-S11 (B22)	258.101		0.039	0.073	0.065	Fixed
N.6007-K11 (B17)	139.541		0.014	0.031	0.043	Fixed
N.6007-S11 (B21)	133.311		0.016	0.042	0.052	Fixed
N.6011-S11 (B23)	122.276		0.017	0.052	0.028	Fixed
N.6011-K11 (B19)	117.745		0.014	0.05	0.037	Fixed
N.6009-N.6007 (B15)	311.305		0.016	0.053	0.043	Float
N.6009-N.6011 (B14)	299.509		0.053	0.042	0.043	Fixed
S11-K11 (B20)	7.32		0.003	0.006	0.025	Fixed
N.6009-K11 (B28)	253.167	3	0.022	0.072	0.053	Float
N.6009-S11 (B32)	258.101		0.208	0.043	0.026	Fixed
N.6007-K11 (B27)	139.541		0.015	0.04	0.04	Fixed
N.6007-S11 (B31)	133.311		0.024	0.057	0.05	Fixed
N.6011-S11 (B33)	122.276		0.016	0.047	0.039	Fixed
N.6011-K11 (B29)	117.745		0.013	0.082	0.038	Fixed
N.6009-N.6007 (B25)	311.305		0.016	0.044	0.028	Fixed
N.6009-N.6011 (B24)	299.509		0.011	0.017	0.036	Fixed
S11-K11 (B30)	7.32		0.003	0.006	0.026	Fixed

Pada tabel hasil pemrosesan diatas terdapat beberapa hasil perhitungan *baseline* yang *Float* diantaranya *baseline* B2, B15, dan B28. Sehingga ketiga *baseline* tersebut tidak digunakan dalam proses perataan jaringan berikutnya agar tidak mengurangi tingkat ketelitian dari proses perataan jaringan tersebut.

4.3. Analisa Proses Perataan Jaringan GPS

Proses perataan jaringan GPS dengan program TBC dilakukan dengan *fully constrained*. Yaitu dengan penggunaan seluruh titik kontrol yang digunakan dalam pengamatan.

Adapun hasil dari proses perataan jaringan GPS tercantum pada tabel dibawah:

Tabel 4.3. Hasil Proses Perataan Jaringan GPS Dengan 3 Titik Kontrol

Point ID	Easting	Easting Error	Northing	Northing Error	Height	Height Error	Control Point
K11	166402.862	1.183	9791047.489	0.316	72.993	1.693	
S11	827233.23	1.155	9793859.786	0.293	72.825	1.424	N.6007 - N.6009 - N.6011

Dari hasil proses perataan jaringan GPS diperoleh nilai *error* yang cukup besar, dengan nilai *error* terbesar ada pada *Easting Error* dan *Height Error* dengan tingkat *error* mencapai satuan (m). Sedangkan untuk nilai *error* terkecil ada pada *Northing Error* dengan tingkat *error* mencapai satuan (dm).

Untuk hasil proses perataan jaringan GPS basis panjang dengan menggunakan *software Bernese* sebagai berikut:

Tabel 4.4. Hasil Proses Perataan Jaringan GPS Dengan Software Bernese

Station Name	Typ	A priori value	Estimated value	Correction	RMS Error	3-D	ellipsoid	2-D	ellipse
K11	X	-4265704.5770	-4265701.0446	3.5324	0.0650				
	Y	4737250.1361	4737245.4955	-4.6406	0.0757				
	Z	-208715.2780	-208710.0646	5.2134	0.0200				
	U	78.2708	72.2899	-5.9809	0.0968	0.0970	3.6		
	N	-1 53 16.327228	-1 53 16.163822	5.0529	0.0207	0.0198	13.0	0.0202	18.7
	E	132 0 6.381567	132 0 6.397107	0.4803	0.0239	0.0238	2.6	0.0242	
S11	X	-4260736.3105	-4260732.2441	4.0684	0.0691				
	Y	4741842.6604	4741836.2525	-6.4079	0.0736				
	Z	-205916.7702	-205912.4053	4.3649	0.0202				
	U	78.5187	70.8965	-7.6222	0.0979	0.0980	3.0		
	N	-1 51 45.168390	-1 51 45.034279	4.1470	0.0208	0.0200	13.5	0.0206	12.5
	E	131 56 27.489023	131 56 27.529731	1.2581	0.0240	0.0242	0.3	0.0242	

Datum WGS84: Spheroid WGS84: UTM Zone 53					
Point Name	Latitude South	Longitude East	Easting (m)	Northing (m)	Height (m)
K11	1° 53' 16.164886"	132° 00' 06.396958"	166399.729	9791050.275	72.296
Datum WGS84: Spheroid WGS84: UTM Zone 52					
Point Name	Latitude South	Longitude East	Easting (m)	Northing (m)	Height (m)
S11	1° 51' 45.035377"	131° 56' 27.529577"	827230.144	9793862.837	70.903

Untuk laporan lengkapnya dari *report* perataan jaringan menggunakan software BERNESE bisa dilihat pada *lampiran 5*.

4.4. Analisa Simpangan Ketelitian Hasil Proses TBC Terhadap Hasil Proses BERNESE Versi 5

Dilihat dari hasil proses perataan jaringan dengan menggunakan TBC memiliki pola tingkat ketelitian mencapai satuan (m) pada *Easting Error* dan *Height Error* sedangkan pada *North Error* tingkat ketelitiannya mencapai satuan

(dm). Namun masih belum diketahui seberapa dekat nilai koordinat hasil pemrosesan TBC terhadap nilai koordinat BERNESE. Sehingga saya lakukan perhitungan seperti pada tabel 4.5. untuk mengetahui nilai koordinat yang paling mendekati.

Tabel 4.5. Hasil Perhitungan Simpangan Proses TBC Terhadap Software Bernese

Point ID	Hasil Proses Koordinat Dengan TBC			Hasil Proses Koordinat Dengan BERNESE			Control Point
	Easting	Northing	Height	Easting	Northing	Height	
K11	166402.862	9791047.489	72.993	166399.729	9791050.275	72.296	N.6007 - N.6009 - N.6011
S11	827233.23	9793859.786	72.825	827230.144	9793862.837	70.903	

Point ID	Simpangan Hasil Proses TBC Terhadap BERNESE			Control Point
	Easting	Northing	Height	
K11	3.133	2.786	0.697	N.6007 - N.6009 - N.6011
S11	3.086	3.051	1.922	

(Tm) Zemun mireki pana diliyekan seyabka rerec uji pooginaa pani
bawisoosan TBC loogada uji kooqin DDKZTSI, deejinayaa qabka jecnaa
beelitumkaa zabsi laaki looje 15. nacay waa loogada uji kooqin laaki laaki
waaqooyi.

Aayal #7. Wayyayihaan Zimbaadaha TBC, Jigjigaado Soomaaliya

ID	Point	Hesi Proses Koorinti Dugan TBC			Hesi Proses Koorinti Dugan BEERNEE		Control Point
		Easting	Moving	Height	Station	Moving	
K11	162405.865	3201043.156	23.263	160338.256	0311050.318	25.266	N.6003 - N.6003
S11	852533.53	3203866.266	23.835	852530.144	0323985.833	20.803	N.6041

ID	Point	Sambuugaan Hesi Proses TBC Leemahaab			Control Point
		Easting	Moving	Height	
K11	3.133	0.003	1.289	N.6003 - N.6003	
S11	2.088	0.093	1.122		

BAB V
PENUTUP



5.1. Kesimpulan

Berdasarkan analisa dan pembahasan dapat diambil kesimpulan sebagai berikut:

1. Dari hasil proses *Baseline Software TBC* diperoleh beberapa *baseline* dengan hasil proses *float* dikarenakan jeleknya data pengamatan yang diperoleh, sehingga diperlukan pengamatan ulang.
2. Dari hasil proses *Loop Closure Software TBC* ada 3 nomor kesalahan *loop closure* yang bersumber dari titik pengamatan N.6011 sehingga mempengaruhi ketelitian hasil pada proses *Network Adjustment*.
3. Dari hasil proses *Network Adjustment software TBC* diperoleh nilai *error* yang cukup besar mencapai satuan (m) sehingga tidak memenuhi sarat sebagai titik kontrol orde 2 yang ingin dibuat.
4. Diperoleh nilai perhitungan simpangan hasil proses TBC terhadap BERNSE yang besar dengan mencapai satuan meter (m) dan nilai simpangan terkecil mencapai satuan desimeter (dm). Sehingga membuktikan *software* komersil *Trimble Business Center* (TBC) tidak cukup baik untuk memproses data GPS basis panjang.

5.2. Saran

Beberapa saran yang dapat diberikan berkaitan dengan proses pengolahan data dan analisa selama proses penelitian berlangsung, yaitu:

1. Dalam pemrosesan data GPS basis panjang disarankan menggunakan *software scientific* yang memiliki tingkat kehandalan yang lebih bagus dibandingkan dengan *software komersil*.
2. Adanya ketidak stabilan dalam pemrosesan *baseline* TBC secara langsung sehingga disarankan dalam proses *baseline* dilakukan secara bertahap *baseline per baseline*.
3. Untuk memperoleh ketelitian data yang lebih tinggi disarankan melakukan proses pengamatan lebih lama dari pengamatan yang sudah dilakukan..

Daftar Pustaka

Abidin, H.Z. (1995). *Penentuan Posisi Dengan GPS dan Aplikasinya*, (cetakan pertama), PT. Pradnya Paramita, Jakarta.

Abidin, H.Z. (1999). *Penentuan Posisi Dengan GPS dan Aplikasinya*, (cetakan kedua, edisi yang disempurnakan), PT. Pradnya Paramita, Jakarta.

Standar Nasional Indonesia. *Jaringan Kontrol Horizontal*, BSN (Badan Standardisasi Nasional).

Website Internet. *Penentuan GPS Untuk Penentuan Posisi*,
<http://Geocities.com./filegeodesi/gps.pdt>.

Thomas. H, (2006). *Studi Ketelitian Posisi Hasil Pengamatan GPS Dengan Memanfaatkan Data Pengamatan Stasiun Tetap*, Skripsi, FTSP ITN, Malang.

LAMPIRAN 1

TITIK KONTROL HORISONTAL BAKOSURTANAL



**BADAN KOORDINASI SURVEI DAN PEMETAAN NASIONAL
(BAKOSURTANAL)**
BIDANG KERANGKA GEODESI-PUSAT GEODESI DAN GEODINAMIKA
Jl. Raya Jakarta - Bogor Km. 46 Cibinong 16911 PO Box 46 CBT
Telp. (021) 8758061, 8753155 Fax. (021) 8758061, 87916647 email: info@bakosurtanal.go.id
SISTEM INFORMASI GEODESI BAKOSURTANAL
JARING KONTROL HORIZONTAL NASIONAL

Nama Titik
N.6011

DESKRIPSI TITIK GPS

Nomor Pilar	: N. 6011	Nama Setempat	: Bandara Torea
Desa / Kelurahan	: Torea	Kecamatan	: Fakfak
Kabupaten / Kota	: Fakfak	Provinsi	: Irian Jaya
Keterangan Pilar : Pilar ditanam di batu dan diperkuat dengan beton cor			

Koordinat Geodetik (DGN-95/WGS-84)		Zona UTM Zona 53	
Lintang	= $2^{\circ} 55'$	9.5803" S	Timur = 195908.913 meter
Bujur	= $132^{\circ} 15'$	53.0062" E	Utara = 9676953.863 meter
Tinggi Elipsoid	= 202.986 meter		Faktor Skala = 1.000745
			Konvergensi Grid = 8' 21.89"

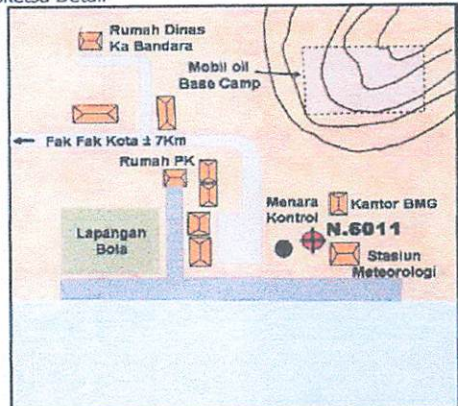
Koordinat Kartesian (ITRF 2000 Epoch 1998.0)		
X = -4284267.2941 meter	Y = 4714175.7712 meter	Z = -322676.0496 meter

Jalan Ke Lokasi	: Dicapai dengan penerbangan satu kali seminggu (Sabtu) dari Bandara Rendani (Manokwari) dengan pesawat Twin Otter ± 1 jam 30 menit atau dari Sorong 5 kali seminggu selain hari Kamis dan Minggu, ± 1 jam.
Uraian Lokasi	: Pilar terletak di sebelah Timur Menara Kontrol, ± 20 m di antara menara kontrol dengan Stasiun Meteorologi.
Kenampakan Menonjol : Bandara Torea Fakfak dan menara Kontrol.	

Sketsa Umum



Sketsa Detail



Catatan : Bila Pilar hilang/rusak, hubungi alamat diatas

Basisdata Dibuat/Diupdate Tahun: 2004

Dicetak Tanggal : 04/20/2012 02:54 PM



**BADAN KOORDINASI SURVEI DAN PEMETAAN NASIONAL
(BAKOSURTANAL)**
BIDANG KERANGKA GEODESI-PUSAT GEODESI DAN GEODINAMIKA
Jl. Raya Jakarta - Bogor Km. 46 Cimong 16911 PO Box 46 CBI
Telp. (021) 8758061, 8753155 Fax. (021) 8758061, 87916647 email: info@bakosurtanal.go.id
SISTEM INFORMASI GEODESI BAKOSURTANAL
JARING KONTROL HORIZONTAL NASIONAL

Nama Titik
N.6007

DESKRIPSI TITIK GPS

Nomor Pilar	: SP. 5	Nama Setempat	: Puncak Arfak
Desa / Kelurahan	: Sional	Kecamatan	: Sorong Barat
Kabupaten / Kota	: Sorong	Provinsi	: Irian Jaya
Keterangan Pilar : Standar Pilar Triangulasi Sekunder			

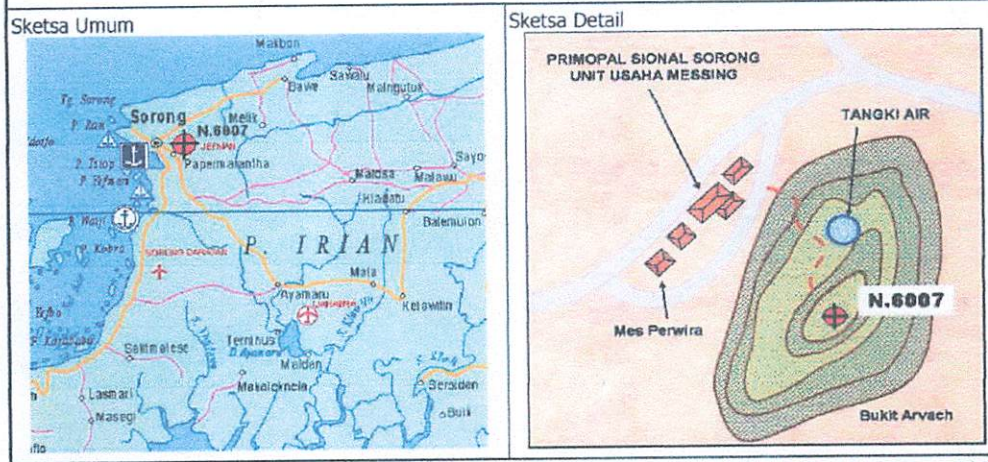
Koordinat Geodetik (DGN-95/WGS-84)		Zona UTM Zona 52	
Lintang	= $0^{\circ} 52'$	30.6371" S	Timur = 750802.274 meter
Bujur	= $131^{\circ} 15'$	12.8628" E	Utara = 9903191.207 meter
Tinggi Elipsoid	= 141.329 meter	Faktor Skala	= 1.000379
		Konvergensi Grid	= 2' 3.98"

Koordinat Kartesian (ITRF 2000 Epoch 1998.0)		
X = -4205302.8137 meter	Y = 4794625.6417 meter	Z = -96770.5315 meter

Jalan Ke Lokasi : Dengan kendaraan roda empat dari Kota menuju Sional, mendaki bukit ± 5 menit

Uraian Lokasi : Pilar terletak di puncak bukit Arfak, di sebelah atas Tenggara dari Mess Primopal Sional Sorong, unit Usaha Mesing

Kenampakan Menonjol : Puncak Arfak

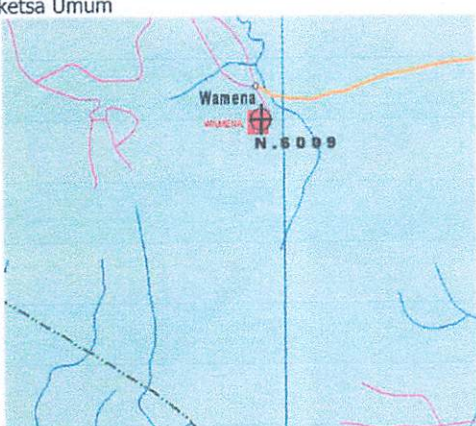
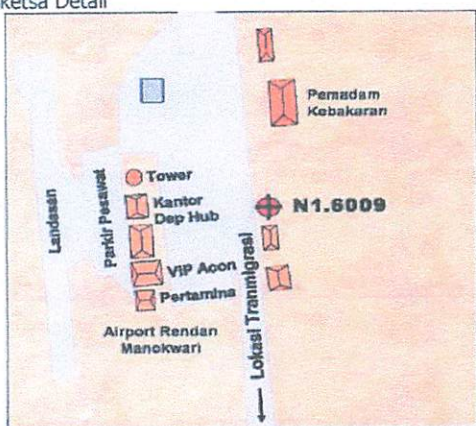


Catatan : Bila Pilar hilang/rusak, hubungi alamat diatas

Basisdata Dibuat/Diupdate Tahun: 2004

Dicetak Tanggal : 04/20/2012 02:52 PM

 <p>BADAN KOORDINASI SURVEI DAN PEMETAAN NASIONAL (BAKOSURTANAL) BIDANG KERANGKA GEODESI-PUSAT GEODESI DAN GEODINAMIKA Jl. Raya Jakarta - Bogor Km. 46 Cibinong 16911 PO Box 46 CBI Telp. (021) 8758061, 8753155 Fax. (021) 8758061, 87916647 email: info@bakosurtanal.go.id SISTEM INFORMASI GEODESI BAKOSURTANAL JARING KONTROL HORIZONTAL NASIONAL</p>	<p>Nama Titik N.6009</p>
--	-------------------------------------

DESKRIPSI TITIK GPS			
Nomor Pilar	: N. 6009	Nama Setempat	: <i>Bandara Rendani</i>
Desa / Kelurahan	: <i>Rendani</i>	Kecamatan	: <i>Manokwari</i>
Kabupaten / Kota	: <i>Manokwari</i>	Provinsi	: <i>Irian Jaya</i>
Keterangan Pilar : <i>Standard Pilar GPS</i>			
Koordinat Geodetik (DGN-95/WGS-84)		Zona UTM Zona 53	
Lintang	= $0^{\circ} 53'$ $31.7187'' S$	Timur	= <i>394341.174 meter</i>
Bujur	= $134^{\circ} 3'$ $1.4407'' E$	Utara	= <i>9901377.560 meter</i>
Tinggi Elipsoid	= <i>81.677 meter</i>	Faktor Skala	= <i>0.999738</i>
		Konvergensi Grid	= <i>0' 53.23"</i>
Koordinat Kartesian (ITRF 2000 Epoch 1998.0)			
X = <i>-4434183.2109 meter</i>	Y = <i>4583655.3335 meter</i>	Z = <i>-98645.5508 meter</i>	
Jalan Ke Lokasi : <i>Sangat mudah di lokasi Airport</i>			
Uraian Lokasi : <i>Pilar terletak di sebelah antara Stasiun Metereologi dengan Pemadam Kebakaran, Airport Rendani Manokwari.</i>			
Kenampakan Menonjol : <i>Landasan Pesawat, Stasiun Meteorologi dan Pemadam kebakaran.</i>			
Sketsa Umum		Sketsa Detail	
			
<p>Catatan : Bila Pilar hilang/rusak, hubungi alamat diatas</p>			
Basisdata Dibuat/Diupdate Tahun: 2004 Dicetak Tanggal : 04/20/2012 02:53 PM			

LAMPIRAN 2

REPORT HASIL PROSES BASELINE

ЛАМПИАН

REPORT HAS BEEN PASSED

Project Information		Coordinate System
Name:	D:\aan\TA Q\Skripsi\Data Skripsi\TBC\1.vce	Name: UTM
Size:	236 KB	Datum: WGS 1984
Modified:	18/07/2013 09:09:38 (UTC:7)	Zone: 52 South (129E)
Time zone:	SE Asia Standard Time	Geoid: EGM96 (Global)
Reference number:		Vertical datum:
Description:		

Baseline Processing Report

Session Details

N.6011 - N.6009 (05:30:15-14:31:45) (S1)

Baseline Observation: [N.6011 --- N.6009 \(B1\)](#)

Processed: 18/07/2013 08:51:44
Solution Type: Fixed
Frequency used: Dual Frequency (L1, L2)
Horizontal Precision: 0.038 m
Vertical Precision: 0.045 m
RMS: 0.084 m
Maximum PDOP: 2.489
Ephemeris used: Broadcast
Antenna Model: US National Geodetic Survey Calibration
Processing Start Time: 21/06/2012 05:30:15 (Local: UTC+7hr)
Processing Stop Time: 21/06/2012 14:31:45 (Local: UTC+7hr)
Processing Duration: 09:01:30
Processing interval: 15 seconds



Vector Components (Mark to Mark)

From:	N.6011
--------------	--------

Grid		Local		Global	
Easting	863011.258 m	Latitude	S2°55'09.62503"	Latitude	S2°55'09.62503"
Northing	9676795.216 m	Longitude	E132°15'53.03033"	Longitude	E132°15'53.03033"
Elevation	139.485 m	Height	205.902 m	Height	205.902 m
To: N.6009					
Grid		Local		Global	
Easting	1062644.521 m	Latitude	S0°53'32.10772"	Latitude	S0°53'32.10772"
Northing	9900992.340 m	Longitude	E134°03'01.29457"	Longitude	E134°03'01.29457"
Elevation	7.234 m	Height	84.067 m	Height	84.067 m
Vector:					
ΔEasting	199633.263 m	NS Fwd Azimuth	41°35'05"	ΔX	-149911.737 m
ΔNorthing	224197.124 m	Ellipsoid Dist.	299509.222	ΔY	-130517.314 m
ΔElevation	-132.251 m	ΔHeight	-121.836	ΔZ	224020.035 m

Standard Errors

Vector Errors:					
σ ΔEasting	0.016 m	σ NS Fwd Azimuth	0°00'00"	σ ΔX	0.023 m
σ ΔNorthing	0.005 m	σ Ellipsoid Dist.	0.012 m	σ ΔY	0.016 m
σ ΔElevation	0.023 m	σ ΔHeight	0.023 m	σ ΔZ	0.005 m

Occupations

	From	To
Point ID:	N.6011	N.6009
Data File:	D:\aan\TA Q\Skripsi\Data Skripsi\TBC\1\21991720.DAT	D:\aan\TA Q\Skripsi\Data Skripsi\TBC\1\22091720.DAT
Receiver Type:	5700	5700
Receiver Serial Number:	0220402199	0220402209
Antenna Type:	Zephyr Geodetic	Zephyr Geodetic

Antenna Serial Number:	_____	_____
Antenna Height (Measured):	1.472 m	1.087 m
Antenna Method:	Bottom of notch	Bottom of notch

Processing Style

Elevation Mask: 15.0 deg
Auto Start Processing: Yes
Start Automatic ID Numbering: AUTO0001
Continuous Vectors: No
Generate Residuals: Yes
Antenna Model: Automatic
Ephemeris Type: Automatic
Frequency: Multiple Frequencies
Processing interval: Use all data
Force Float: No

Project Information		Coordinate System
Name:	D:\aan\TA Q\Skripsi\Data Skripsi\TBC\1.vce	Name: UTM
Size:	236 KB	Datum: WGS 1984
Modified:	18/07/2013 09:09:38 (UTC:7)	Zone: 52 South (129E)
Time zone:	SE Asia Standard Time	Geoid: EGM96 (Global)
Reference number:		Vertical datum:
Description:		

Baseline Processing Report

Session Details

N.6007 - N.6009 (05:28:15-14:31:45) (S2)

Baseline Observation: [N.6007 --- N.6009 \(B2\)](#)

Processed: 18/07/2013 10:29:48
Solution Type: Float
Frequency used: Dual Frequency (L1, L2)
Horizontal Precision: 0.047 m
Vertical Precision: 0.037 m
RMS: 0.027 m
Maximum PDOP: 5.779
Ephemeris used: Broadcast
Antenna Model: US National Geodetic Survey Calibration
Processing Start Time: 21/06/2012 05:28:15 (Local: UTC+7hr)
Processing Stop Time: 21/06/2012 14:31:45 (Local: UTC+7hr)
Processing Duration: 09:03:30
Processing interval: 15 seconds

Vector Components (Mark to Mark)

From:	N.6007
--------------	---------------

	Grid	Local		Global	
Easting	750802.823 m	Latitude	S0°52'30.69852"	Latitude	S0°52'30.69852"
Northing	9903189.319 m	Longitude	E131°15'12.88055"	Longitude	E131°15'12.88055"
Elevation	69.842 m	Height	144.168 m	Height	144.168 m
To:	N.6009				
	Grid	Local		Global	
Easting	1062644.618 m	Latitude	S0°53'32.10817"	Latitude	S0°53'32.10817"
Northing	9900992.326 m	Longitude	E134°03'01.29769"	Longitude	E134°03'01.29769"
Elevation	7.300 m	Height	84.133 m	Height	84.133 m
Vector:					
ΔEasting	311841.795 m	NS Fwd Azimuth	90°22'07"	ΔX	-228876.530 m
ΔNorthing	-2196.994 m	Ellipsoid Dist.	311305.330	ΔY	-210967.351 m
ΔElevation	-62.542 m	ΔHeight	-60.035	ΔZ	-1885.090 m

Standard Errors

Vector Errors:					
σ ΔEasting	0.019 m	σ NS Fwd Azimuth	0°00'00"	σ ΔX	0.022 m
σ ΔNorthing	0.004 m	σ Ellipsoid Dist.	0.019 m	σ ΔY	0.015 m
σ ΔElevation	0.019 m	σ ΔHeight	0.019 m	σ ΔZ	0.004 m

Occupations

	From	To
Point ID:	N.6007	N.6009
Data File:	D:\aan\TA Q\Skripsi\Data Skripsi\TBC\1\67961720.DAT	D:\aan\TA Q\Skripsi\Data Skripsi\TBC\1\22091720.DAT
Receiver Type:	R7	5700
Receiver Serial Number:	0220346796	0220402209
Antenna Type:	Zephyr Geodetic	Zephyr Geodetic

Antenna Serial Number:	0	
Antenna Height (Measured):	0.687 m	1.087 m
Antenna Method:	Bottom of notch	Bottom of notch

Processing Style

Elevation Mask: 15.0 deg
Auto Start Processing: Yes
Start Automatic ID Numbering: AUTO0001
Continuous Vectors: No
Generate Residuals: Yes
Antenna Model: Automatic
Ephemeris Type: Automatic
Frequency: Multiple Frequencies
Processing interval: Use all data
Force Float: No

LAMPIRAN 3

REPORT HASIL PROSES LOOP CLOSURE

Project Information		Coordinate System	
Name:	D:\aan\TA Q\Skripsi\Data Skripsi\Buat Sminar\Copy of Hasil.vce	Name:	UTM
Size:	534 KB	Datum:	WGS 1984
Modified:	25/07/2013 12:47:02 (UTC:7)	Zone:	52 South (129E)
Time zone:	SE Asia Standard Time	Geoid:	EGM96 (Global)
Reference number:		Vertical datum:	
Description:			

GNSS Loop Closure Results

Summary

Legs in loop: 3

Number of Loops: 132

Number Passed: 129

Number Failed: 3

	Length (Metre)	Δ3D (Metre)	ΔHoriz (Metre)	ΔVert (Metre)	PPM
Pass/Fail Criteria					1
Best		0.022	0.007	-0.001	0.043
Worst		0.387	0.382	0.283	1.305
Average Loop	489000.422	0.156	0.108	0.088	0.371
Standard Error	195281.743	0.179	0.144	0.106	0.244

Failed Loops

Loop: N.6011-K11-S11

Vector ID	From	To	Start Time	
<u>N.6011 --> K11</u> <u>(PV9)</u>	<u>N.6011</u>	<u>K11</u>	21/06/2012 06:51:30	
<u>S11 --> K11</u> <u>(PV10)</u>	<u>S11</u>	<u>K11</u>	21/06/2012 06:51:30	
<u>S11 --> N.6011</u> <u>(PV23)</u>	<u>S11</u>	<u>N.6011</u>	22/06/2012 05:29:45	
 <u>PV9-PV10-</u> <u>PV23</u>	 Length = 247344.811 m	 Δ Horiz = 0.156 m	 Δ Vert = 0.283 m	 PPM = 1.305
	 Δ 3D = 0.323 m	 Δ X = -0.074 m	 Δ Y = 0.314 m	 Δ Z = - 0.019 m
Vector ID	From	To	Start Time	
<u>N.6011 --> K11</u> <u>(PV19)</u>	<u>N.6011</u>	<u>K11</u>	22/06/2012 06:18:15	
<u>S11 --> K11</u> <u>(PV10)</u>	<u>S11</u>	<u>K11</u>	21/06/2012 06:51:30	
<u>S11 --> N.6011</u> <u>(PV23)</u>	<u>S11</u>	<u>N.6011</u>	22/06/2012 05:29:45	
 <u>PV19-PV10-</u> <u>PV23</u>	 Length = 247344.815 m	 Δ Horiz = 0.184 m	 Δ Vert = 0.204 m	 PPM = 1.110
	 Δ 3D = 0.275 m	 Δ X = -0.001 m	 Δ Y = 0.274 m	 Δ Z = - 0.018 m
Vector ID	From	To	Start Time	
<u>N.6011 --> K11</u> <u>(PV29)</u>	<u>N.6011</u>	<u>K11</u>	23/06/2012 06:00:00	
<u>S11 --> K11</u> <u>(PV10)</u>	<u>S11</u>	<u>K11</u>	21/06/2012 06:51:30	
<u>S11 --> N.6011</u> <u>(PV23)</u>	<u>S11</u>	<u>N.6011</u>	22/06/2012 05:29:45	
 <u>PV29-PV10-</u> <u>PV23</u>	 Length = 247344.810 m	 Δ Horiz = 0.110 m	 Δ Vert = 0.228 m	 PPM = 1.022

$\Delta 3D = 0.253 \text{ m}$	$\Delta X = -0.072 \text{ m}$	$\Delta Y = 0.242 \text{ m}$	$\Delta Z = -0.005 \text{ m}$
-------------------------------	-------------------------------	------------------------------	-------------------------------

Observations In Failed Loops

Vector ID	From	To	Solution Type	Length (Metre)	Start Time	No. of Occurrences
<u>S11 --> N.6011 (PV23)</u>	<u>S11</u>	<u>N.6011</u>	Fixed	122277.665	22/06/2012 05:29:45	3
<u>S11 --> K11 (PV10)</u>	<u>S11</u>	<u>K11</u>	Fixed	7320.395	21/06/2012 06:51:30	3
<u>N.6011 --> K11 (PV19)</u>	<u>N.6011</u>	<u>K11</u>	Fixed	117746.755	22/06/2012 06:18:15	1
<u>N.6011 --> K11 (PV29)</u>	<u>N.6011</u>	<u>K11</u>	Fixed	117746.750	23/06/2012 06:00:00	1
<u>N.6011 --> K11 (PV9)</u>	<u>N.6011</u>	<u>K11</u>	Fixed	117746.750	21/06/2012 06:51:30	1



LAMPIRAN 4

REPORT HASIL PROSES NETWORK ADJUSTMENT

Project Information		Coordinate System
Name:	D:\aan\TA Q\Skripsi\Data Skripsi\TBC\2.vce	Name: UTM
Size:	517 KB	Datum: WGS 1984
Modified:	18/07/2013 11:44:41 (UTC:7)	Zone: 53 South (135E)
Time zone:	SE Asia Standard Time	Geoid: EGM96 (Global)
Reference number:		Vertical datum:
Description:		

Network Adjustment Report

Adjustment Settings

Set-Up Errors

GNSS

Error in Height of Antenna: 0.000 m

Centering Error: 0.000 m

Covariance Display

Horizontal:

Propagated Linear Error [E]: U.S.

Constant Term [C]: 0.000 m

Scale on Linear Error [S]: 1.960

Three-Dimensional

Propagated Linear Error [E]: U.S.

Constant Term [C]: 0.000 m

Scale on Linear Error [S]: 1.960

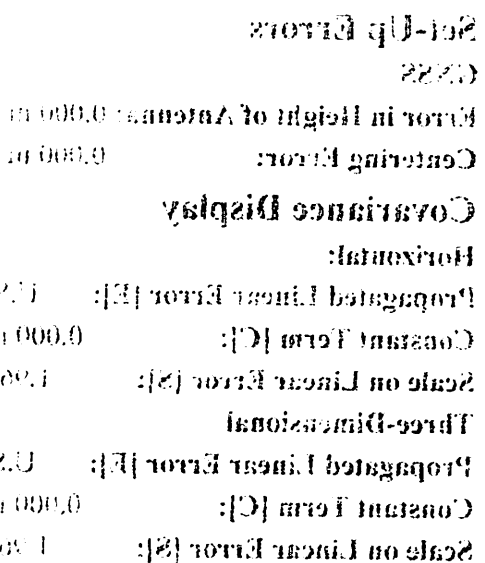
Adjustment Statistics

Number of Iterations for Successful Adjustment: 2

Proteins	Antibodies	Antigenic determinants
Protein A	Anti-A	Anti-A determinants
Protein B	Anti-B	Anti-B determinants
Protein C	Anti-C	Anti-C determinants
Protein D	Anti-D	Anti-D determinants

Рівні функції в Альфа

Political Insanity.



29th editioⁿ Memoria A.

What is a Hypothetical Reason for Interest in Population?

Network Reference Factor: 1.00
Chi Square Test (95%): Passed
Precision Confidence Level: 95%
Degrees of Freedom: 59

Post Processed Vector Statistics

Reference Factor: 1.00
Redundancy Number: 59.00
A Priori Scalar: 160.34

Control Point Constraints

Point ID	Type	East σ (Metre)	North σ (Metre)	Height σ (Metre)	Elevation σ (Metre)
N.6007	Local	Fixed	Fixed	Fixed	
N.6009	Local	Fixed	Fixed	Fixed	
N.6011	Local	Fixed	Fixed	Fixed	

Fixed = 0.000001(Metre)

Adjusted Grid Coordinates

Point ID	Easting (Metre)	Easting Error (Metre)	Northing (Metre)	Northing Error (Metre)	Elevation (Metre)	Elevation Error (Metre)
K11	166402.862	1.183	9791047.489	0.316	1.814	1.693
N.6007	82865.564	?	9903058.043	?	67.003	?
N.6009	394341.173	?	9901377.559	?	4.845	?
N.6011	195908.913	?	9676953.862	?	136.568	?
S11	159626.944	1.155	9793837.404	0.293	1.541	1.424

Adjusted Geodetic Coordinates

Point ID	Latitude	Longitude	Height (Metre)	Height Error (Metre)
K11	S1°53'16.25567"	E132°00'06.49810"	72.993	1.693
N.6007	S0°52'30.63710"	E131°15'12.86280"	141.329	?
N.6009	S0°53'31.71870"	E134°03'01.44070"	81.677	?
N.6011	S2°55'09.58030"	E132°15'53.00620"	202.986	?
S11	S1°51'45.13443"	E131°56'27.62950"	72.825	1.424



Adjusted ECEF Coordinates

Point ID	X (Metre)	X Error (Metre)	Y (Metre)	Y Error (Metre)	Z (Metre)	Z Error (Metre)	3D Error (Metre)
K11	4265703.772	1.325	4737243.860	1.587	208712.907	0.303	2.089
N.6007	4205302.814	?	4794625.641	?	-96770.531	?	?
N.6009	4434183.210	?	4583655.335	?	-98645.552	?	?
N.6011	4284267.294	?	4714175.771	?	322676.051	?	?
S11	4260735.759	1.160	4741835.551	1.422	205915.542	0.286	1.857

Error Ellipse Components

Point ID	Semi-major axis (Metre)	Semi-minor axis (Metre)	Azimuth
K11	1.479	0.389	93°
S11	1.442	0.362	92°

Adjusted GPS Observations

Transformation Parameters

Deflection in Latitude: 1.016 sec (95%) 1.481 sec
Deflection in Longitude: 0.788 sec (95%) 2.090 sec
Azimuth Rotation: 6.344 sec (95%) 0.350 sec
Scale Factor: 1.00001900 (95%) 0.00000208

Project Information		Coordinate System	
Name:	D:\aan\TA Q\Skripsi\Data Skripsi\TBC\2.vce	Name:	UTM
Size:	517 KB	Datum:	WGS 1984
Modified:	18/07/2013 11:44:41 (UTC:7)	Zone:	52 South (129E)
Time zone:	SE Asia Standard Time	Geoid:	EGM96 (Global)
Reference number:		Vertical datum:	
Description:			

Network Adjustment Report

Adjustment Settings

Set-Up Errors

GNSS

Error in Height of Antenna: 0.000 m

Centering Error: 0.000 m

Covariance Display

Horizontal:

Propagated Linear Error [E]: U.S.

Constant Term [C]: 0.000 m

Scale on Linear Error [S]: 1.960

Three-Dimensional

Propagated Linear Error [E]: U.S.

Constant Term [C]: 0.000 m

Scale on Linear Error [S]: 1.960

Adjustment Statistics

Number of Iterations for Successful Adjustment: 2

Network Reference Factor: 1.00

Chi Square Test (95%): Passed

Precision Confidence Level: 95%

Degrees of Freedom: 59

Post Processed Vector Statistics

Reference Factor: 1.00

Redundancy Number: 59.00

A Priori Scalar: 160.34

Control Point Constraints

Point ID	Type	East σ (Metre)	North σ (Metre)	Height σ (Metre)	Elevation σ (Metre)
N.6007	Local	Fixed	Fixed	Fixed	
N.6009	Local	Fixed	Fixed	Fixed	
N.6011	Global	Fixed	Fixed	Fixed	
Fixed = 0.000001(Metre)					

Adjusted Grid Coordinates

Point ID	Easting (Metre)	Easting Error (Metre)	Northing (Metre)	Northing Error (Metre)	Elevation (Metre)	Elevation Error (Metre)
K11	833999.184	1.183	9791046.795	0.316	1.814	1.693
N.6007	750802.275	?	9903191.207	?	67.003	?
N.6009	1062649.072	?	9901004.324	?	4.845	?
N.6011	863010.516	?	9676796.594	?	136.568	?
S11	827233.230	1.155	9793859.786	0.293	1.541	1.424

Adjusted Geodetic Coordinates

Point ID	Latitude	Longitude	Height (Metre)	Height Error (Metre)
K11	S1°53'16.25567"	E132°00'06.49810"	72.993	1.693
N.6007	S0°52'30.63710"	E131°15'12.86280"	141.329	?
N.6009	S0°53'31.71870"	E134°03'01.44070"	81.677	?
N.6011	S2°55'09.58030"	E132°15'53.00620"	202.986	?
S11	S1°51'45.13443"	E131°56'27.62950"	72.825	1.424

Adjusted ECEF Coordinates

Point ID	X (Metre)	X Error (Metre)	Y (Metre)	Y Error (Metre)	Z (Metre)	Z Error (Metre)	3D Error (Metre)
K11	4265703.772	1.325	4737243.860	1.587	208712.907	0.303	2.089
N.6007	4205302.814	?	4794625.641	?	-96770.531	?	?
N.6009	4434183.210	?	4583655.335	?	-98645.552	?	?
N.6011	4284267.294	?	4714175.771	?	322676.051	?	?
S11	4260735.759	1.160	4741835.551	1.422	205915.542	0.286	1.857

Error Ellipse Components

Point ID	Semi-major axis (Metre)	Semi-minor axis (Metre)	Azimuth
K11	1.479	0.389	93°
S11	1.442	0.362	92°

Adjusted GPS Observations

Transformation

Parameters

Deflection in Latitude:	1.016 sec (95%)	1.481 sec
Deflection in Longitude:	0.788 sec (95%)	2.090 sec
Azimuth Rotation:	6.344 sec (95%)	0.350 sec
Scale Factor:	1.00001900 (95%)	0.00000208

LAMPIRAN 5

REPORT HASIL PROSES NETWORK ADJUSTMENT

BERNESE V5

=====
Program : ADDNEQ2
Version 5.0
Purpose : Combination of normal equations
Campaign: PAPUA
2012
Date : 19-Jul-2012 11:40

Bernese GPS Software
Default session: 1730 year
User name : dadan

=====

PAPUA PROJECT

=====

INPUT AND OUTPUT FILENAMES

=====

=====
Session table : PAPUA/STA/SESSIONS.SES
Variance rescaling factors : ---
Station coordinates : PAPUA/STA/PAPJ.RD
Station velocities : ---
Station information : PAPUA/STA/PAPJL.STA
Troposphere estimates : ---
Ionosphere master file : ---
Differential code biases : ---
Earth rotation parameters : ---
Geocenter coordinates : ---
Var-covar wrt coord. : ---
Full var-covar matrix : ---
General constants : S(X)/GEN/CONST.

=====

1 FAPUA/SOL/FCN12173.NQD
2 FAPUA/SOL/FCN12174.NQD
3 FAPUA/SOL/FCN12175.NQD

Main characteristics of normal equation files:

File	From	To	Number of observations / parameters / degree of freedom		
------	------	----	---	--	--

1	2012-06-21 00:00:00	2012-06-22 00:00:00	57464	196	57268
2	2012-06-22 00:00:00	2012-06-23 00:00:00	58073	238	57835
3	2012-06-23 00:00:00	2012-06-24 00:00:00	57626	156	57470

Total	2012-06-21 00:00:00	2012-06-24 00:00:00	173163
-------	---------------------	---------------------	--------

Number of parameters:

Parameter type	1	2	3
----------------	---	---	---

Station coordinates	6	6	6
Site-specific troposphere parameters	64	64	64

Total number of explicit parameters	70	70	70
Total number of implicit parameters	126	168	86

Total number of adjusted parameters 195 238 156

A PRIORI INFORMATION

Number of parameters in combined NIK less than: 1000

A priori sigma of unit weight: 0.0010 m

Check comparison of individual solutions:

Maximum residuals accepted in north: 15.0 mm
Maximum residuals accepted in east: 15.0 mm
Maximum residuals accepted in up: 30.0 mm

Maximum component rms accepted in north: 10.0 mm
Maximum component rms accepted in east: 10.0 mm
Maximum component rms accepted in up: 20.0 mm

A PRIORI INFORMATION

A priori sigma of unit weight: 0.0010 m

Station coordinates and velocities:

Local geodetic datum: \$(X)/GEN/DATUM.

Datum name Ell. param./ Scale Shifts to WGS-84 Rotations to WGS-84

IGSC0	A = 6378137.000	x	DX =	C.0000 m	RX =	C.0000C arcsec
	1/E=	298.2572221	DY =	C.0000 m	RY =	C.0000C arcsec
	SC =	C.00000D+00	DZ =	C.0000 m	RZ =	C.0000C arcsec

A priori station coordinates:

PAPUA/SIA/PAPUA.CRD

A priori station coordinates
WGS-84

A priori station coordinates
Ellipsoidal in local geodetic datum

num	Station name	obs c/f/h	X (m)	Y (m)	Z (m)	Latitude	Longitude
-----	--------------	-----------	-------	-------	-------	----------	-----------

Height (m)

1	K011	Y ESTIM	-4265704.5770	4737250.1361	-208715.2780	- 1 53 16.327228	132 0 6.381567
	78.2708						
2	S011	Y ESTIM	-4260736.3105	4741842.6604	-205916.7702	- 1 51 45.168390	131 56 27.489023
	78.5187						

Site-specific troposphere parameters:

A priori troposphere model: Niell, dry part only
Me_lev/Trop.delay values: Extrapolated

Mapping function used for delay estimation: Wet Niell
Troposphere gradient estimation: Tilted mapping

Component A priori sigma Unit

U	absolute	0.00000	m
N	absolute	0.00000	m
E	absolute	0.00000	m
U	relative	0.10000	m
N	relative	0.00000	m
E	relative	0.00000	m

SUMMARY OF RESULTS**Number of parameters:**

Parameter type	Adjusted	explicitly / implicitly (pre-eliminated)	Deleted	Singular
Station coordinates / velocities	6	6	0	0
Site-specific troposphere parameters	172	172	0	0
Previously pre-eliminated parameters	360	360		
Total number	558	178	380	0

Statistics:

Total number of explicit parameters	178
Total number of implicit parameters	380
Total number of adjusted parameters	558
Total number of observations	173163
Degree of freedom (DOF)	172605

A posteriori RMS of unit weight: 0.13316 m
Chi**2/DOF 17732.23

Total number of observation files 18
Total number of stations 2
Total number of satellites 0

Station coordinates and velocities:

Sol	Station name	Typ	Correction	Estimated value	RMS error	A priori value	Unit	From
To		MJD		Num	Abs			
1	K011	X	3.5324	-4265701.0446	0.0650	-4265704.5770	meters	2012-06-21 00:00:00 2012-06-23
07:22:15	56100.1536	1	#CRD					
1	K011	Y	-4.6406	4737245.4955	0.0757	4737250.1361	meters	2012-06-21 00:00:00 2012-06-23
07:22:15	56100.1536	2	#CRD					
1	K011	Z	5.2134	-208710.0646	0.0200	-208715.2780	meters	2012-06-21 00:00:00 2012-06-23
07:22:15	56100.1536	3	#CRD					
1	S011	X	4.0664	-4260732.2441	0.0691	-4260736.3105	meters	2012-06-21 00:00:00 2012-06-23
07:22:15	56100.1536	4	#CRD					
1	S011	Y	-6.4079	4741836.2525	0.0736	4741842.6604	meters	2012-06-21 00:00:00 2012-06-23
07:22:15	56100.1536	5	#CRD					
1	S011	Z	4.3649	-205912.4053	0.0202	-205916.7702	meters	2012-06-21 00:00:00 2012-06-23
07:22:15	56100.1536	6	#CRD					

Site-specific troposphere parameters:

Station name	Typ	Correction	Estimated value	RMS error	A priori value	Unit	From
To		MJD		Num	Abs		



S011	N	0.4540	0.073	0.0000 meters	2012-05-23
00:00:00		56101.0000	166 #73P	0.0000 meters	2012-05-23
S011	E	3.4380	3.4380	0.0000 meters	2012-05-23
00:00:00		56101.0000	167 #73P	2.2876 meters	2012-05-23
S011	U	-309.9337	-309.9337	2.9434 meters	2012-05-23
00:00:00		56101.0000	168 #73P	2.2876 meters	2012-05-23
S011	U	-319.4818	-319.4818	2.3194 meters	2012-05-23
01:00:00		56101.0417	169 #73P	2.2876 meters	2012-05-23
S011	U	-351.7550	-349.4674	1.9934 meters	2012-05-23
02:00:00		56101.0833	170 #73P	2.2876 meters	2012-05-23
S011	U	-366.6089	-354.2214	1.8391 meters	2012-05-23
03:00:00		56101.1250	171 #73P	2.2876 meters	2012-05-23
S011	U	-378.7507	-376.4632	1.9896 meters	2012-05-23
04:00:00		56101.1667	172 #73P	2.2876 meters	2012-05-23
S011	U	-403.7448	-401.4573	2.4193 meters	2012-05-23
05:00:00		56101.2083	173 #73P	2.2876 meters	2012-05-23
S011	U	-430.6071	-428.3195	2.9647 meters	2012-05-23
06:00:00		56101.2500	174 #73P	2.2876 meters	2012-05-23
S011	U	-433.1978	-430.9103	3.5843 meters	2012-05-23
07:00:00		56101.2917	175 #73P	2.2876 meters	2012-05-23
S011	U	-433.1045	-430.9170	4.5855 meters	2012-05-23
08:00:00		56101.3333	176 #73P	0.0000 meters	2012-05-24
S011	N	8.4778	8.4778	0.4092 meters	2012-05-24
09:00:00		56102.0000	177 #73P	0.0000 meters	2012-05-24
S011	E	8.1027	8.1027	0.4641 meters	2012-05-24
00:00:00		56102.0000	178 #73P	0.0000 meters	2012-05-24

Station coordinates and velocities:

Reference epoch: 2012-06-22 12:00:00

Station name	Type	A priori value	Estimated value	Correction	RMS error	3-D ellipsoid	2-D ellipse
K011	X	-4265704.5770	-4265701.0446	3.5524	C.0550		
	Y	4737250.1361	4737245.4955	-4.6405	C.0757		
	Z	-208715.2780	-208710.0646	5.2134	C.0200		

Monday, August 06, 2012 12:00 PM

D:\2012\Fugro - Palapa Survey\Borneo\FINAL\OUT\FINAL.CUT

	U	78.2708	72.2899	-5.9609	C.0968	0.0970	3.6		
	N	-1 53 16.327223	-1 53 16.163822	5.3529	C.0207	0.0190	13.0	0.0202	18.7
	E	132 0 6.381567	132 0 6.39107	0.4603	C.0239	0.0238	2.6	0.0242	
S011	X	-4260736.3105	-4260732.2441	4.3664	C.0691				
	Y	4741842.6604	4741836.2525	-6.4079	C.0736				
	Z	-205916.7702	-205912.4053	4.3649	C.0202				
	U	78.5187	70.8965	-7.6222	C.0979	0.0980	3.0		
	N	-1 51 45.168590	-1 51 45.034279	4.1470	C.0208	0.0200	13.5	0.0206	12.5
	E	131 56 27.489023	131 56 27.529731	1.2581	C.0240	0.0242	C.3	0.0242	

Troposphere parameters:

Reference elevation angle of gradient terms : 51.8 degrees
 Minimum elevation angle : 13 degrees
 Mapping factor at minimum elevation angle : 19.3

Station name	Corrections (m)			RMS errors (m)			Zenith vector ("")			Error ellipse (m)		
	North	East	Zenith	North	East	Zenith	Angle	RMS	Ratio	Azi	Max RMS	Min RMS
6007	-6.19989	10.24517*****	0.06209	0.08844	2.25476	0.0	0.0	0.0	301	C.09514	0.05123	-64
6007	-6.18002	10.33360*****	0.05915	0.08420	2.06570	0.0	0.0	0.0	301	C.09062	0.04875	-64
6007	-6.16015	10.42203*****	0.05638	0.08016	2.02895	0.0	0.0	0.0	301	C.08633	0.04640	-64
6007	-6.14028	10.51046*****	0.05381	0.07637	1.88043	0.0	0.0	0.0	300	C.0823C	0.04421	-64
6007	-6.12041	10.59889*****	0.05145	0.07286	1.81923	0.0	0.0	0.0	300	C.07859	0.04219	-64
6007	-6.10054	10.68733*****	0.04935	0.06967	1.73615	0.0	0.0	0.0	300	C.07522	0.04038	-63
6007	-6.08067	10.77576*****	0.04754	0.06685	1.67845	0.0	0.0	0.0	299	C.07227	0.03881	-63
6007	-6.0608C	10.86119*****	0.04604	0.06445	1.61466	0.0	0.0	0.0	299	C.06977	0.03749	-63
6007	-6.04093	10.95262*****	0.0449C	0.06251	2.66486	0.0	0.0	0.0	299	C.06777	0.03647	-63
6007	-5.72301	12.36752*****	0.07248	0.09707	2.43023	0.0	0.0	0.0	295	C.1C583	0.05897	-61
6007	-5.7502C	12.16712*****	0.06886	0.09225	2.25653	0.0	0.0	0.0	295	C.1C062	0.05593	-61
6007	-5.77739	11.96671*****	0.06549	0.08771	2.22987	0.0	0.0	0.0	295	C.09572	0.05310	-61
6007	-5.80459	11.76631*****	0.0624C	0.08351	2.07737	0.0	0.0	0.0	296	C.0912C	0.05051	-61
6007	-5.85178	11.56590*****	0.05962	0.07970	1.96441	0.0	0.0	0.0	297	C.08709	0.04819	-61
6007	-5.85897	11.36550*****	0.05722	0.07634	1.90694	0.0	0.0	0.0	297	C.08348	0.04619	-61
6007	-5.88617	11.16510*****	0.05524	0.07350	1.85005	0.0	0.0	0.0	298	C.08042	0.04456	-61

6011	9.4671	1.63450*****	0.06914	0.0501	2.02353	0.0	0.0	0.0	190	C.06835	0.05223	23
6011	9.5677	1.70152*****	0.06299	0.05236	1.88413	0.0	0.0	0.0	190	C.06505	0.04977	23
6011	9.55483	1.76844*****	0.06005	0.04990	1.82343	0.0	0.0	0.0	190	C.06199	0.04747	23
K011	9.75389	1.83585*****	0.05736	0.04765	1.73103	0.0	0.0	0.0	191	C.0592C	0.04534	23
K011	9.84985	1.90291*****	0.05495	0.04583	1.68199	0.0	0.0	0.0	191	C.05671	0.04342	23
K011	9.94601	1.97009*****	0.05287	0.04368	1.61596	0.0	0.0	0.0	191	C.05459	0.04173	23
K011	10.04207	2.03721*****	0.05115	0.04244	2.45897	0.0	0.0	0.0	191	C.05286	0.04030	23
K011	11.57902	3.11111*****	0.07734	0.06423	2.41913	0.0	0.0	0.0	195	C.05220	0.05777	29
K011	11.34166	3.04842*****	0.07336	0.06110	2.27323	0.0	0.0	0.0	195	C.07801	0.05504	29
K011	11.1043C	2.96574*****	0.06963	0.05812	2.23206	0.0	0.0	0.0	195	C.07401	0.05242	29
K011	10.86695	2.92306*****	0.0667C	0.05533	2.07989	0.0	0.0	0.0	195	C.07035	0.04995	29
K011	10.52959	2.86038*****	0.06311	0.05275	1.97105	0.0	0.0	0.0	195	C.06707	0.04762	29
K011	10.39223	2.79770*****	0.06045	0.05042	1.90223	0.0	0.0	0.0	195	C.06423	0.04448	29
K011	10.15486	2.75502*****	0.05819	0.04837	1.88671	0.0	0.0	0.0	195	C.06189	0.04354	29
K011	9.91752	2.67233*****	0.05616	0.04664	1.80699	0.0	0.0	0.0	195	C.0601C	0.04184	29
K011	9.58016	2.60965*****	0.05528	0.04527	3.28639	0.0	0.0	0.0	195	C.05893	0.04040	28
K011	5.88245	1.60674*****	0.10031	0.07209	2.94557	0.0	0.0	0.0	195	C.1C81	0.05480	27
K011	6.5849C	1.63211*****	0.08097	0.05809	2.38594	0.0	0.0	0.0	194	C.08801	0.04675	28
K011	7.28734	1.65753*****	0.06539	0.04796	1.9262	0.0	0.0	0.0	193	C.07057	0.03932	28
K011	7.98976	1.68307*****	0.05539	0.04444	1.84829	0.0	0.0	0.0	192	C.05951	0.03874	29
K011	8.59222	1.70852*****	0.05553	0.04896	1.93924	0.0	0.0	0.0	191	C.05858	0.04227	30
K011	9.39466	1.73396*****	0.06537	0.05973	2.41637	0.0	0.0	0.0	190	C.06817	0.05652	30
K011	10.0971C	1.75541*****	0.08146	0.07607	2.98536	0.0	0.0	0.0	190	C.08478	0.07025	30
K011	10.79594	1.78485*****	0.06029	3.62953	0.0	0.0	0.0	189	C.10514	0.08227	29	
K011	11.55198	1.81029*****	0.121099	0.10755	4.55045	0.0	0.0	0.0	189	C.12747	0.10101	28
K011	2.053379	3.77041*****	0.05178	0.06567	2.24282	0.0	0.0	0.0	241	C.06569	0.05176	68
K011	2.19744	3.85813*****	0.04934	0.06250	2.05039	0.0	0.0	0.0	241	C.02521	0.04932	88
K011	2.20109	3.93324*****	0.04702	0.05948	2.01763	0.0	0.0	0.0	241	C.05949	0.04700	88
K011	2.25474	4.01666*****	0.04484	0.05664	1.87701	0.0	0.0	0.0	241	C.05665	0.04483	89
K011	2.3081C	4.09074*****	0.04101	0.05101	1.81326	0.0	0.0	0.0	241	C.05101	0.04282	69
K011	2.36205	4.17749*****	0.04101	0.05161	1.72763	0.0	0.0	0.0	241	C.05162	0.04101	89
K011	2.4137C	4.25830*****	0.03941	0.04949	1.67633	0.0	0.0	0.0	240	C.04949	0.03941	89
K011	2.46335	4.34032*****	0.03805	0.04768	1.61201	0.0	0.0	0.0	240	C.04768	0.03805	89
K011	3.38442	5.72458*****	0.05736	0.0718	2.41551	0.0	0.0	0.0	239	C.07202	0.05705	82
K011	3.26488	5.61753*****	0.05439	0.0625	2.25736	0.0	0.0	0.0	240	C.06846	0.05413	83
K011	3.14635	5.50468*****	0.05163	0.06590	2.21659	0.0	0.0	0.0	240	C.06508	0.05140	83
K011	3.03844	5.39464*****	0.0491C	0.06176	2.06923	0.0	0.0	0.0	241	C.06192	0.04890	83
K011	2.31527	5.28499*****	0.04685	0.05885	1.96413	0.0	0.0	0.0	241	C.05901	0.04666	83
K011	2.79874	5.17515*****	0.04491	0.05623	1.99665	0.0	0.0	0.0	242	C.05638	0.04472	83
K011	2.5822C	5.06530*****	0.04333	0.05392	1.84603	0.0	0.0	0.0	242	C.05408	0.04313	83



K011	2.56566	4.95545	0.04215	0.05197	1.80757	0.0	0.0	0.0	243	C.05216	0.04192	82
K011	6.56455	3.08807	0.07709	0.08083	2.95203	0.0	0.0	0.0	259	C.08588	0.07142	53
K011	0.32514	3.24354	0.06466	0.06466	2.31303	0.0	0.0	0.0	254	C.06882	0.05516	54
K011	1.26692	3.39902	0.04649	0.05240	1.98389	0.0	0.0	0.0	250	C.05517	0.04317	60
K011	1.80812	3.35450	0.03778	0.04723	1.83911	0.0	0.0	0.0	248	C.04837	0.03630	71
K011	1.34932	3.70998	0.05828	0.05131	1.98143	0.0	0.0	0.0	242	C.05159	0.03790	81
K011	2.12905	3.88545	0.04659	0.06288	2.41866	0.0	0.0	0.0	239	C.06295	0.04760	86
K011	2.63570	4.02039	0.06200	0.07070	2.98703	0.0	0.0	0.0	237	C.07074	0.05204	77
K011	2.97289	4.17642	0.07678	0.09670	3.58243	0.0	0.0	0.0	235	C.09676	0.07871	87
K011	1.90415	4.25474	0.05549	0.06776	2.24285	0.0	0.0	0.0	245	C.06776	0.03149	69
K011	1.35349	4.32732	0.04906	0.06449	2.02833	0.0	0.0	0.0	246	C.0645C	0.04906	90
K011	2.00652	4.39990	0.04675	0.06138	2.05273	0.0	0.0	0.0	245	C.06138	0.04675	90
K011	2.05957	4.47248	0.04458	0.05845	1.87852	0.0	0.0	0.0	245	C.05845	0.04458	90
K011	2.11261	4.55056	0.04257	0.05572	1.81339	0.0	0.0	0.0	245	C.05572	0.04257	-89
K011	2.16565	4.61763	0.04076	0.05324	1.72831	0.0	0.0	0.0	245	C.05324	0.04075	-89
K011	2.21869	4.69021	0.03915	0.05102	1.67633	0.0	0.0	0.0	245	C.0645C	0.04906	90
K011	2.27173	4.76279	0.03779	0.04912	1.60953	0.0	0.0	0.0	245	C.06138	0.03778	-88
K011	2.32477	4.83537	0.03670	0.04757	2.59313	0.0	0.0	0.0	244	C.04758	0.03669	-88
K011	2.37345	5.05564	0.03567	0.04733	2.41273	0.0	0.0	0.0	242	C.07314	0.05664	87
K011	2.41601C	5.85003	0.05377	0.05952	2.22832	0.0	0.0	0.0	243	C.06955	0.05373	87
K011	2.50679	5.78342	0.05105	0.06612	2.21811	0.0	0.0	0.0	243	C.06615	0.05101	87
K011	2.83348	5.57681	0.04857	0.06294	2.07020	0.0	0.0	0.0	243	C.06296	0.04854	88
K011	2.72208	5.57020	0.04636	0.06001	1.96585	0.0	0.0	0.0	244	C.06003	0.04634	88
K011	2.66687	5.46359	0.04448	0.05738	1.90553	0.0	0.0	0.0	244	C.0574C	0.04445	88
K011	2.49356	5.35598	0.04296	0.05508	1.84866	0.0	0.0	0.0	245	C.0551C	0.04293	87
K011	2.38026	5.25037	0.04184	0.05315	1.81823	0.0	0.0	0.0	246	C.05318	0.04180	87
K011	2.26695	5.14376	0.04116	0.05154	3.42912	0.0	0.0	0.0	245	C.05169	0.04109	86
K011	0.45404	3.43014	0.07727	0.08362	2.94841	0.0	0.0	0.0	262	C.08672	0.07378	60
K011	0.78336	3.63237	0.06072	0.06697	2.37892	0.0	0.0	0.0	258	C.06967	0.05760	67
K011	1.12268	3.82673	0.04672	0.05732	1.99313	0.0	0.0	0.0	254	C.05616	0.04150	65
K011	1.4270C	4.02109	0.03821	0.04889	1.83903	0.0	0.0	0.0	250	C.04952	0.03726	75
K011	1.7933	4.21546	0.03895	0.05294	1.98553	0.0	0.0	0.0	247	C.05306	0.03819	81
K011	2.12565	4.40982	0.04853	0.06472	2.41926	0.0	0.0	0.0	244	C.06472	0.04653	89
K011	2.45597	4.60448	0.06304	0.08092	2.58465	0.0	0.0	0.0	242	C.08092	0.06304	-89
K011	2.79429	4.79855	0.01983	0.05934	3.58134	0.0	0.0	0.0	240	C.0994C	0.07983	-89
K011	3.12861	4.99291	0.09774	0.11910	4.58547	0.0	0.0	0.0	238	C.11911	0.05774	-89

Comparison of Individual Solutions:

No. of categories of deteriorated outliers:

Station name S02 Com Residual (mm) From To

Residuals exceeding specified threshold

Station name	S02	Com	Residual (mm)	From	To
<hr/>					
K011	1	N	-114.45	2012-06-21 00:30:00	2012-06-21 07:12:45
K011	2	N	-456.52	2012-06-22 00:30:00	2012-06-22 07:15:30
K011	3	N	-507.18	2012-06-23 00:30:00	2012-06-23 07:22:15
K011	1	E	473.33	2012-06-21 00:30:00	2012-06-21 07:12:45
K011	2	E	-614.30	2012-06-22 00:30:00	2012-06-22 07:15:30
K011	3	E	-189.01	2012-06-23 00:30:00	2012-06-23 07:22:15
K011	1	N	-1804.66	2012-06-21 00:30:00	2012-06-21 07:12:45
K011	2	N	-1334.55	2012-06-22 00:30:00	2012-06-22 07:15:30
K011	3	U	880.12	2012-06-23 00:30:00	2012-06-23 07:22:15
K011	1	N	-158.24	2012-06-21 00:30:00	2012-06-21 07:12:45
K011	2	N	498.49	2012-06-22 00:30:00	2012-06-22 07:15:30
K011	3	N	-629.78	2012-06-23 00:30:00	2012-06-23 07:22:15
S011	1	E	438.06	2012-06-21 00:30:00	2012-06-21 07:12:45
S011	2	E	-226.31	2012-06-22 00:30:00	2012-06-22 07:15:30
S011	3	E	-241.62	2012-06-23 00:30:00	2012-06-23 07:22:15
S011	1	U	-1459.02	2012-06-21 00:30:00	2012-06-21 07:12:45
S011	2	U	-1260.11	2012-06-22 00:30:00	2012-06-22 07:15:30
S011	3	U	1381.30	2012-06-23 00:30:00	2012-06-23 07:22:15

Root-mean-square errors exceeding specified threshold

Station name	Com	RMS error (mm)	From	To
K011	N	489.41	2012-06-22 00:00:00	2012-06-23 07:22:15
K011	b	566.09	2012-06-22 00:30:00	2012-06-22 07:15:30
K011	U	1704.84	2012-06-21 00:30:00	2012-06-21 07:21:45
S011	N	478.67	2012-06-22 00:30:00	2012-06-22 07:15:30
S011	E	388.26	2012-06-21 00:30:00	2012-06-21 07:21:45
S011	U	1756.23	2012-06-22 00:30:00	2012-06-22 07:15:30